

SOFFOET

17/06/2016

Apport du NGS aux anomalies du corps calleux et phénotype reverse: mais oui bien sûr !

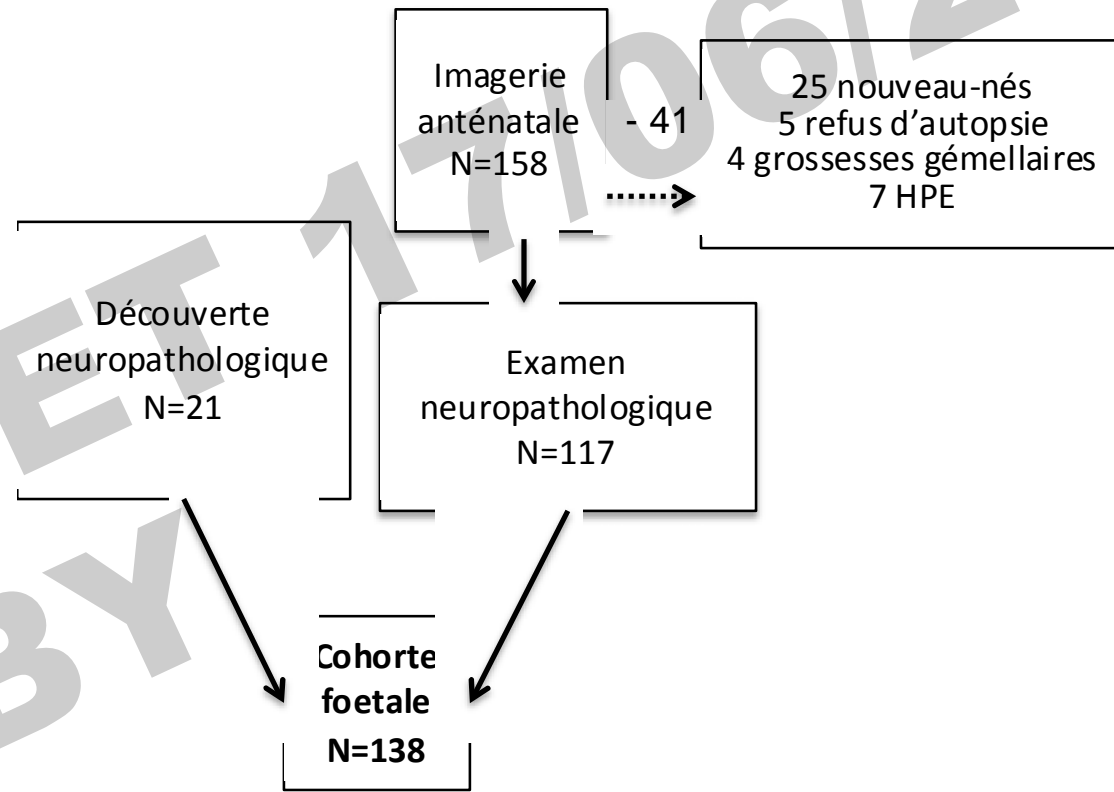
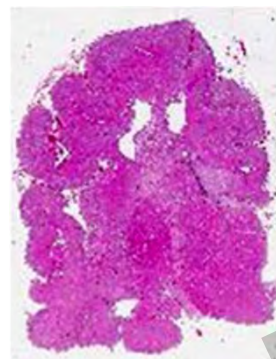
Caroline ALBY

Hôpital Necker – Enfants Malades
et Institut Imagine, INSERM U1163

Bettina BESSIÈRES, Férechthé RAZAVI,
Maryse BONNIÈRE, Charlotte MECHLER

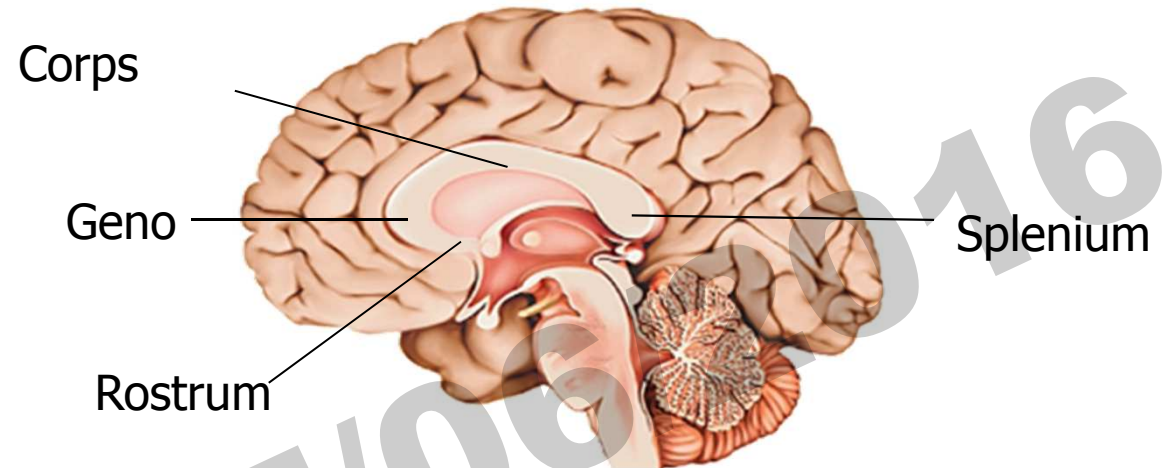
Anne-Claire BRÉHIN, Sophie PATRIER, Rouen
Mathilde LEFEBVRE, Dijon
Francine ARBEZ-GINDRE, Besançon
Charlotte MECHLER, Necker

Cohorte foetale

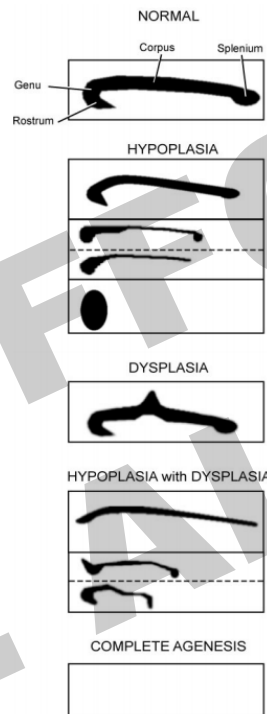


Necker-Enfants Malades
De 2000 à 2015
Analyse rétrospective

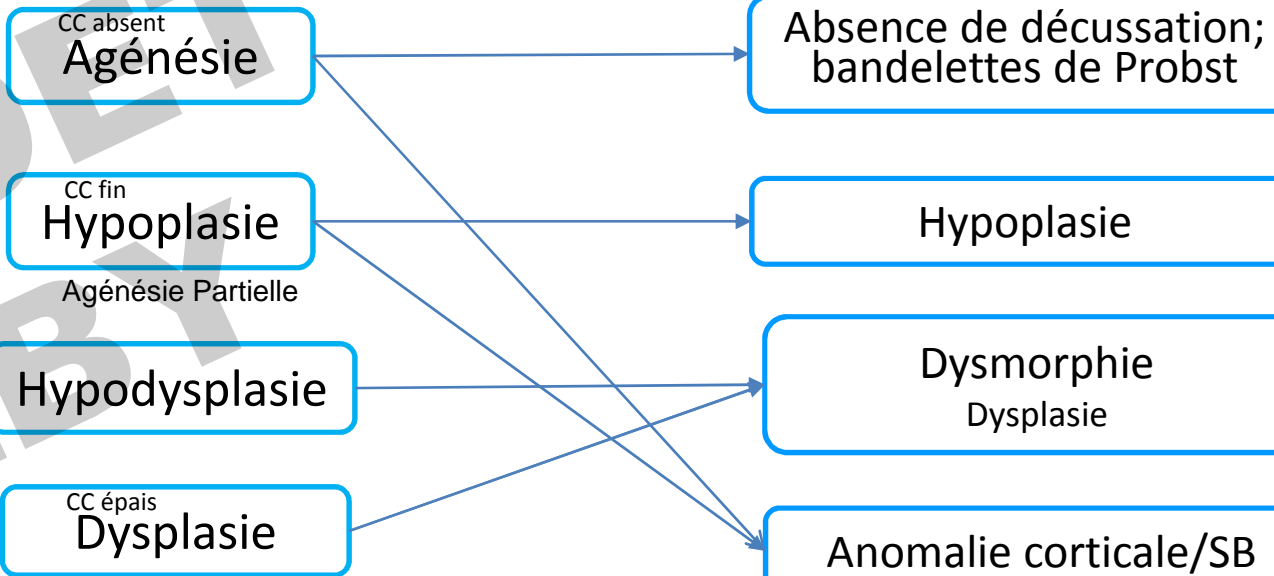
Classifications des anomalies du corps calleux



RADIOLOGIE : ANATOMIQUES



NEUROPATHOLOGIE DEVELOPPEMENTAUX / MECANISMES



Hanna et al., 2011

F. Encha Razavi

Anomalies du corpus calleux: étude d'une cohorte foetale

Rétrospective, Necker
2000-2014
N =138

EFP, Neuropathologie

Caryotype, CGH

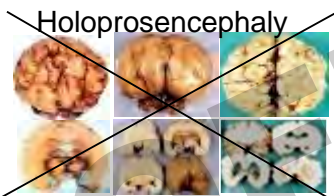
Dr V. Malan

Signes associés

Séquençage nouvelle génération

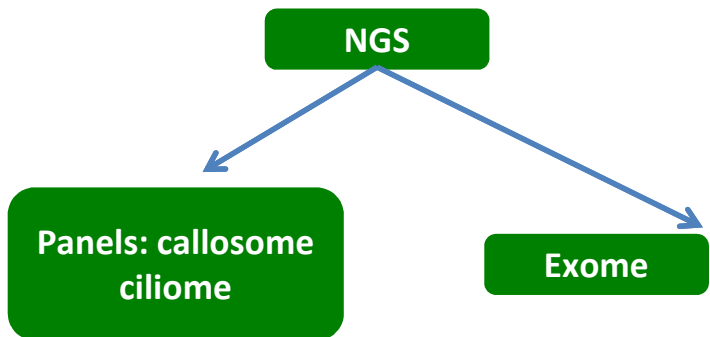
Fœtale
MCC: 64
Necker

Postnatale
PHRC ACCREM : 100
D. Héron, C Despienne
Pitié-Salpêtrière



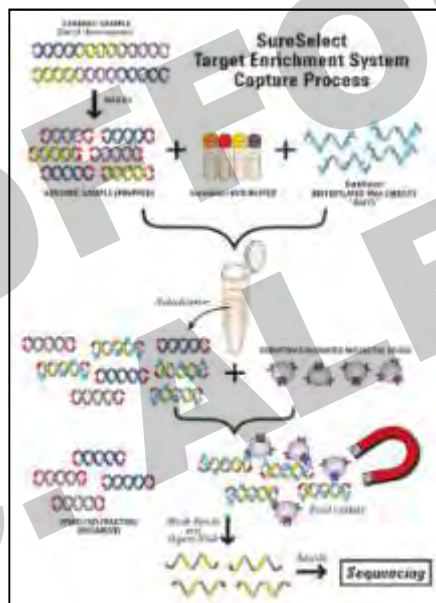
Holoprosencephaly

NGS: panels et exome



Agilent SureSelect™

Plateforme Illumina, HiSeq



Callosome

423 gènes

Ciliome
1221 gènes

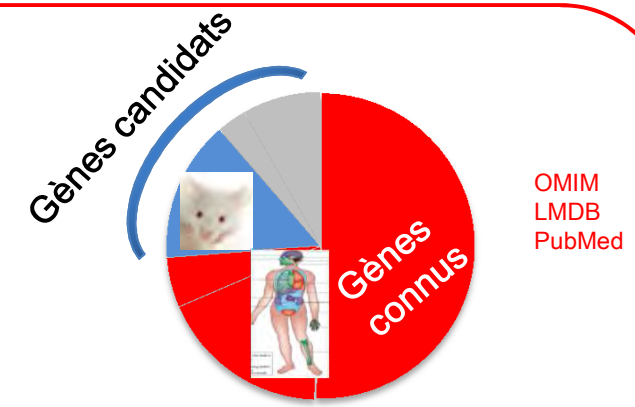
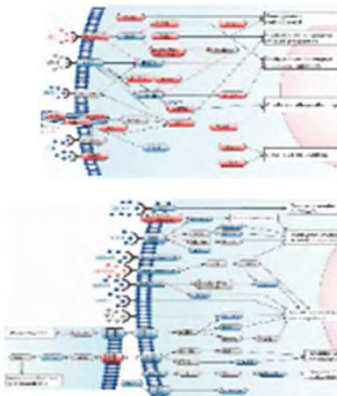
Exome
>20 000 gènes

Ligne médiane



Prolifération Migration Spécification neuronale

Guidance axonale



**312 connus
111 candidats**

Couverture 200X 99.5% bases >30X

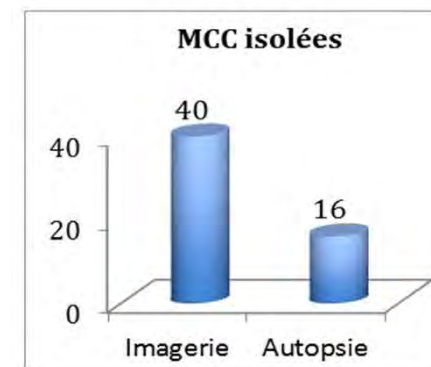
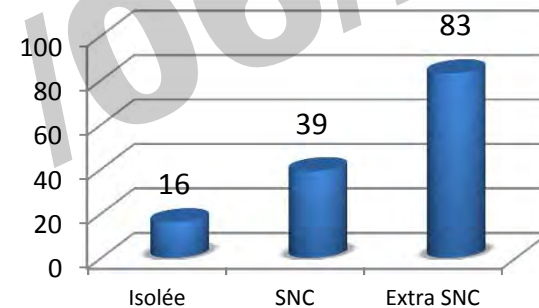
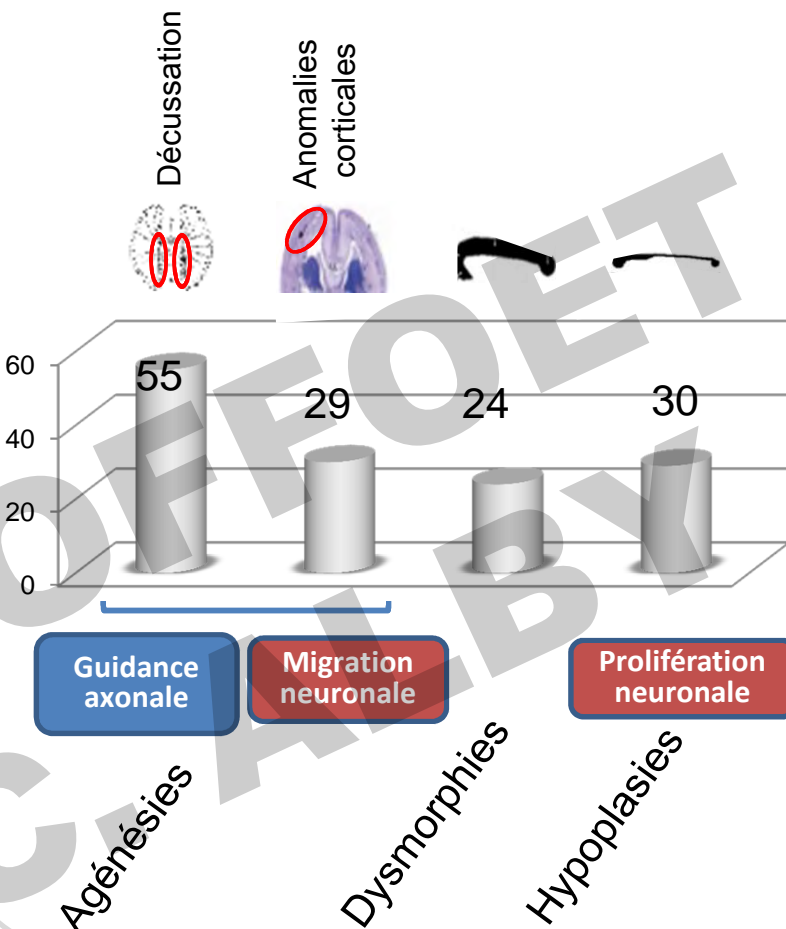
Foetus: résultats (1)

Etude rétrospective foetale,
Necker
2000-2014
N =138

Foetopathologie,
Neuropathologie

Classification
neuropathologique

Dr F. Razavi

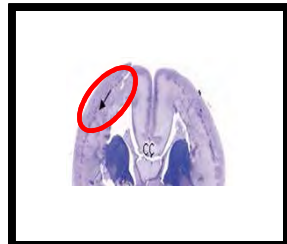


➤ 60% des MCC dites isolées
ne le sont pas après autopsie

Foetus: résultats

Clinique confirmée

N=21/138



12 anomalies
de développement cortical

Maladie	Gene	H
Syndrome d' Opitz	<i>MID1</i>	RXL
Syndrome de Zellweger	<i>PEX1</i>	AR
Déficit en PDH	En cours	
Tubulinopathie	<i>TUBA1A*</i>	AD
Tubulinopathie	<i>TUBA1A*</i>	AD
Tubulinopathie	<i>TUBA1A</i>	AD
Tubulinopathie	<i>TUBB3 *</i>	AD
Tubulinopathie	<i>TUBB3</i>	AD
Lissencéphalie type 1	<i>PAFAH1B1</i>	AD
Lissencéphalie type 2	<i>POMT2</i>	AR
Lissencéphalie type 2	<i>B3GALNT2</i>	AR
Lissencéphalie type 2	<i>ISPD**</i>	AR
Porencéphalie type 2	<i>COL4A2</i>	AD
Syndrome de Bicker-Adams	<i>L1CAM</i>	RXL
Syndrome de Bicker-Adams	<i>L1CAM</i>	RXL
Syndrome de Smith-Lemli-Opitz	Dg biochimique	AR
Syndrome de Smith-Lemli-Opitz	<i>DHCR7</i>	AR
Syndrome Oro-facio-digital	<i>OFD1</i>	DXL
Syndrome CHARGE	<i>CHD7</i>	AD
Microcéphalie 5	<i>ASPM</i>	AR

Foetus: résultats

Chromosomique

N=22/138



10 hypoplasies

Région et taille chromosomique
Dup 1pter
Del 1qter
Del1q44 interstitielle
Del4p 9 Mb dup8p 7 Mb
Del6q 4 Mb
Dup7q 55 Mb
Monosomie 7q36.3 1.4 Mb
Trisomie 8p23.3 0.8 Mb
Iso9p10
T18
T18
Mosaïque anneau 21/ Monosomie 21
Del3q 15 Mb
Dup8p8q 98 Mb
Dup8p8q 45 Mb
Del17p
Del14q 2 Mb
Del17q 500 Kb
Del17q 500 Kb
Dup19p 7 Mb
Dup21q 7 Mb
Del10q 2 Mb
Del11p13.3 384 Kb

CGH

CNV récurrents

17q21.31 500kb deletion

IMG 36 SA pour
ventriculomégalie

Cerveau: 97th percentile



EFP1300051

M Bonnire - F Razavi

Hypoplasie du corps calleux, ventriculomégalie triventriculaire

IMG à 34 SA pour
**agenesie partielle
du corps calleux**

Cerveau: 75th percentile



EFP0500091

Hypoplasie du corps calleux, hétérotopies sub épendymaires

1/ Koolen-de Vries syndrome (MIM 610443)

17q21.31 microdeletion

Egloff et al. Cytogenetic
and genome research, 2014

Table 1. Defects of the central nervous system observed in reported patients with Koolen-de Vries syndrome caused by a 17q21.31 microdeletion

	Patients, n	Ventriculomegaly	Corpus callosum abnormalities	Periventricular white matter lesions	Other central nervous system defects
Present case	1 (M)	1	0	0	-
Dornelles-Wawruk et al. [2013]	1 (F)	0	1	0	-
Wray [2013]	1 (F)	0	0	0	-
Terrone et al. [2012]	2 (2 F)	0	1	2	-
Koolen et al. [2012b]	4 (3 M, 1 F)	2	0	0	-
Wright et al. [2011]	4 (2 M, 2 F)	0	0	0	-
Kitsiou-Tzeli et al. [2012]	3 (3 M) ^a	0	0	1	Small arachnoid cyst of the left temporal fossa (1), small cyst of the choroid plexus (1)
El Chehadeh-Djebbar et al. [2011]	1 (M)	0	1	0	Partial pituitary stalk interruption syndrome (1)
Sharkey et al. [2009]	3 (1 M, 2 F)	0	0	0	-
Jaillard et al. [2010]	2 (2 M)	0	1	0	Neuronal heterotopia (1)
Dubourg et al. [2011]	13 (8 M, 5 F) ^b	2	4	0	Bilateral subependymal heterotopia (1), abnormally shaped hippocampus (1)
Tan et al. [2009]	11 (5 M, 6 F)	3	3	2	-
Koolen et al. [2008]	22 (9 M, 13 F)	6	2	1	-
Shaw-Smith et al. [2006]	3 (1 M, 2 F)	0	0	0	-
Total	71 (36 M, 35 F)	14 (20%)	13 (18%)	6 (8%)	6 (8%)

CNV récurrents

16NF00109

ACC isolée

IMG à 35 SA

SOFFOET
C. ALBY

17/06/2016

Calvitie temporale
Dysmorphie:
-bouche large
-cou court
-lèvre inférieure éversée

**SOFFOET
C. ALBY**

106/2016

hypoplasie unguéale de tous les orteils



hypoplasie unguéale du 5° doigt bilatérale



Radios: P3 des 5 hypoplasiques



Hémi-utérus unicorn

Neuropathologie en cours

En prénatal:

ACC

Kyste poche de Blake

V4 ouvert



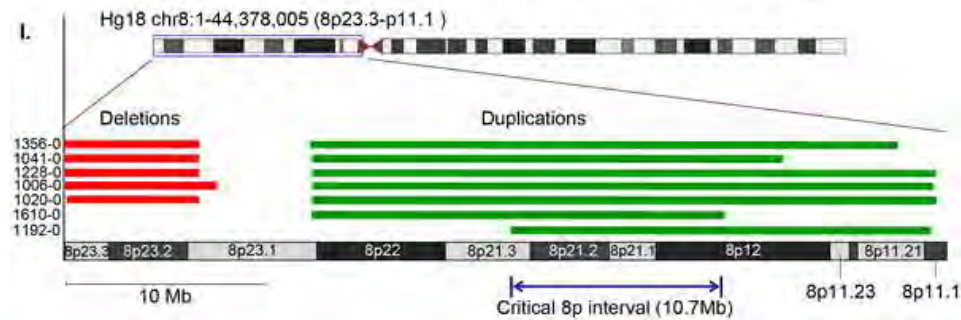
Ovaire droit absent

Inversion duplication délétion du 8p

2/Inversion duplication délétion du 8p



- 1 fœtus/ 3 patients
- Réarrangement chromosomique le plus fréquent chez les patients ACC et DI (O'Driscoll *et al.* 2010)
- Retard du développement, DI légère à sévère
- Dysmorphie faciale
- Hypertonie progressive, troubles orthopédiques sévères (contractures articulaires, scoliose)
- Malformations cardiaques, oculaires, vésico-rénales rapportées



Sajan *et al.*
2013

Etude rétrospective foetale,
Necker
2000-2014
N =138

Foetopathologie, Neuropathologie

Clinique validée

N= 21

Chromosomique

N= 22

NGS

33% diagnostics

?

Etude rétrospective foetale,
Necker
2000-2014
N =138

Foetopathologie, Neuropathologie

Clinique validée

N= 21

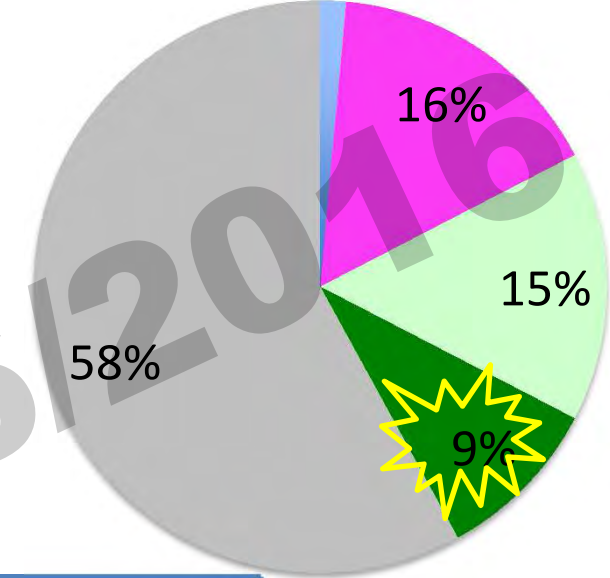
Chromosomique

N= 22

NGS

N=13

42% diagnostics



DIAGNOSTICS PAR NGS

S. OFFOET 17/06/2016
C. ALBY

ACC non diagnostiquables en anténatal

Syndrome	Signes	H	Gène
L1 syndrome	ACC partielle	RLX	<i>L1CAM</i>
Aicardi	ACC, lacunes choriorétiniennes, épilepsie, RM	DLX	?
Andermann	ACC, neuropathie, RM	AR	<i>SLC12A6</i>
Proud / XLS	ACC	RLX	<i>ARX</i>
Peters +	ACC complète, anomalie de Peters, brachydactylie +/ -	AR	<i>B3GALT1</i>
Mowat-Wilson	ACC, RM épilepsie, +/- Hirschsprung, cardiopathie, hypospadias, anomalies génitourinaire	AD	<i>ZEB</i>
Pitt-Hopkins	ACC, dysmorphie, hyperventilation épilepsie, RM	AD	<i>TCF4</i>
FG / Opitz-Kaveggia	ACC partielle, relative macrocéphalie, implantation frontale cheveux , pouces et hallux larges, constipation	RLX	<i>MED12</i>
Kallmann	DSO, ACC	AD	<i>HESX1</i>
Hyperglycinémie sans cétose	ACC partielle ou complète, encéphalopathie qqs j, hypotonie, myoclonies, décès	AR	<i>AMT, GLDC, GCSH</i>
Déficit en PDH	ACC, encéphalopathie, épilepsie, spasticité, RM	RLX	<i>PDHA1</i>

MALADIES METABOLIQUES

SOFFOET 17/06/2016
C. ALBY

Phénocopies: ACC + absence de pyramides

IMG à 25 sa pour ACC, ventriculomégalie
Hypoplasie cérébelleuse
BP, MCPH, absence de pyramides

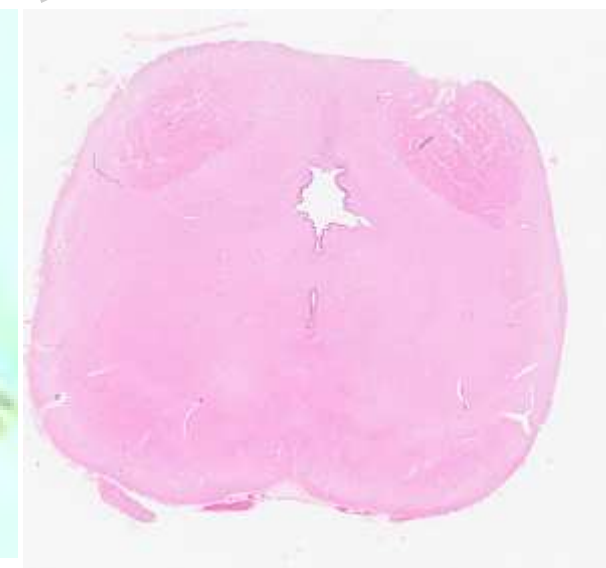
Exome: PDHA1
c.910C>T,, p.Arg304X, de novo



IMG à 26 sa pour ACC, RCIU
BP, absence de pyramides

EFP0600238

Callosome: PDHA1
c.1048_1054del, p.Ser350ValfsX12, de novo



ENP: kystes sous corticaux

L1CAM négatif

F. Razavi

SOFFOET C. ALBY



Dysmorphie :

- Fontanelle antérieure large, sutures écartées
- Front haut
- Fente palpébrales en haut et en dehors
- Ensellure nasale large
- Rebords supra orbitaux hypoplasiques
- Plis cutanés au niveau du cou

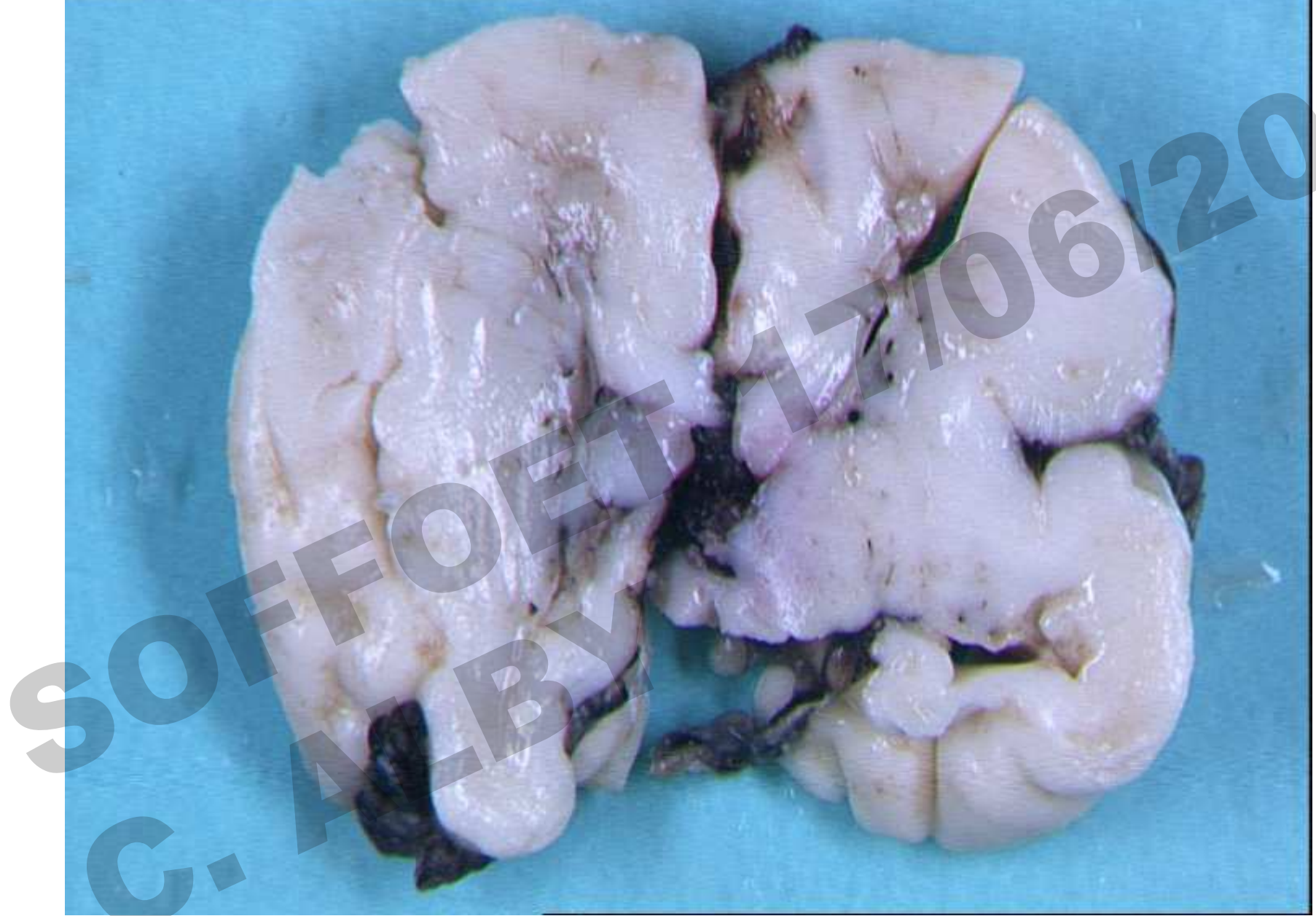
cryptorchidie.



SOFFDET 10/06/2016

C. ALBY

Ventricules latéraux élargis
Corps calleux fin, genou épais avec encoche
Hétérotopies radiaires



Kystes sous épendymaires

SOFFOET 17/06/2016
C. AUBW

Callosome

PEX1

- c.1588-7A>G p.?

Non rs non vu site accepteur 7 pbs en aval: -22.3% MaxEnt:

- c.1970C>T, p.Ser657Phe

damaging, non rs non vu

Hétérotopies
Noyau dentelé immature

Diagnostic rétrospectif

Dosage des acides gras à très longue chaîne : en faveur du diagnostic

Histologie: Quelques rares microdilatations tubulaires corticales rénales

IRM: réanalyse retrospective: poles frontaux carrés, en faveur du diagnostic



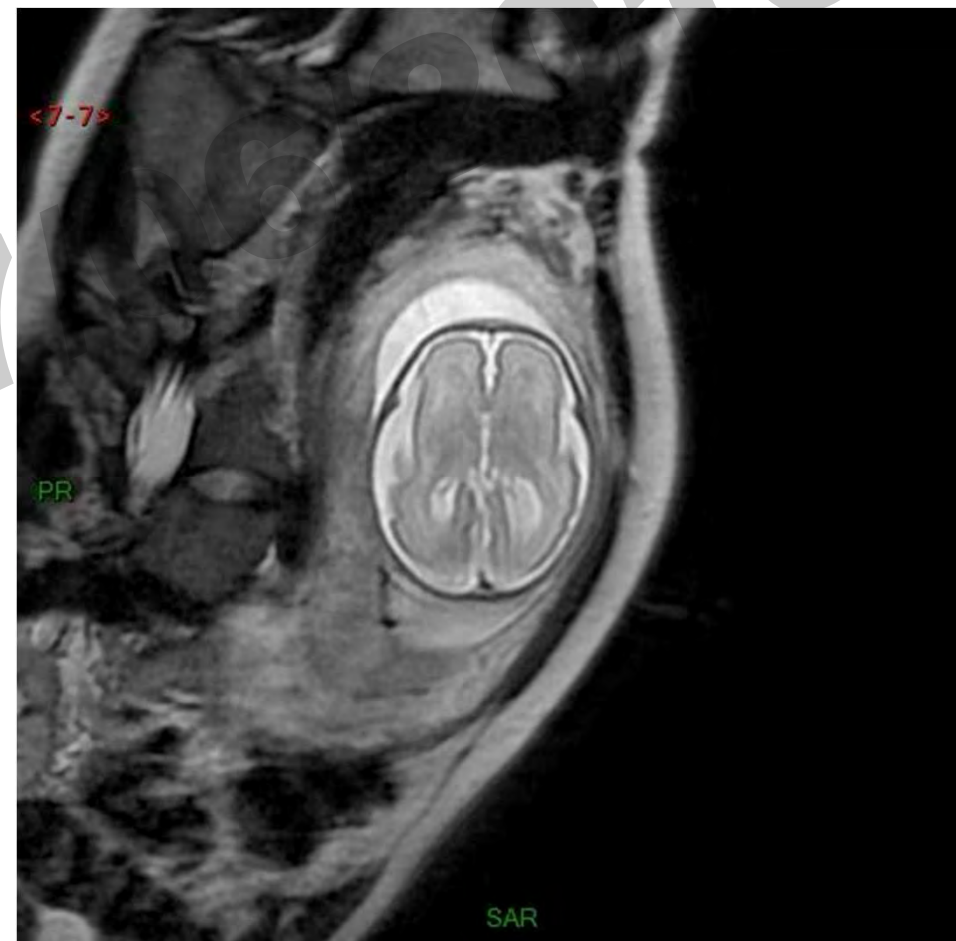
EFP1000248

IMG à 30.1 SA pour CC dysmorphique et anomalies de la ligne médiane

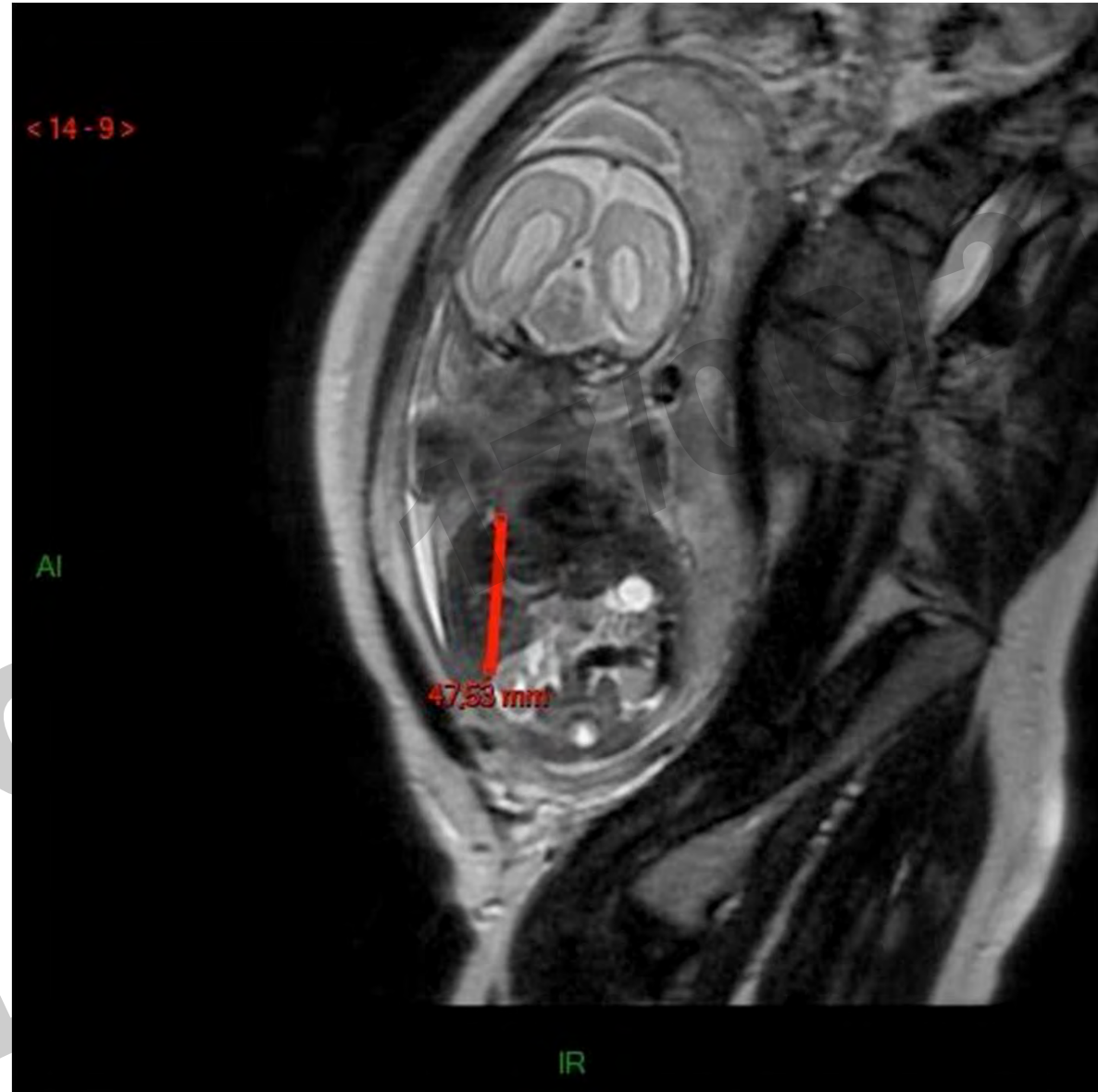


CC fin

P. Sonigo



VL élargis



Hépatomégalie

Zellweger syndrome

Syndrome cérébro-hépato-rénal

- OMIM
- Inheritance
- Gene:

214100
AR
PEX1,2,3,5,6,12,14,26

Caractéristiques

- **Dysmorphie faciale**
- **Hypotonie**
- **Crises d'épilepsie**
- **Déficit intellectuel sévère**
- **Dysfonction rénale et hépatique**

Autres

- RCIU
- Hydronéphrose/Kystes corticaux
- Anomalies des OGE
- Anomalies squelettiques
- Polymicrogyrie/ Kystes sous épendymaires
- Surdité

Dosage AGTLC

MALADIES GENETIQUEMENT HETEROGENES

- + Hypoplasies ponto-cérébelleuses
- + Microcéphalies
- + Microlissencéphalies

SOFFOET 17/06/2016

1/ Hypoplasies ponto cérébelleuses

D.F.

Charlotte Mechler

IMG 31 SA anomalies cérébrales
consanguinité

SOFFOET 106/2016
C. ALBY

Histoire clinique

- G1P0
- Couple consanguin : $\frac{1}{2}$ frère et sœur
- Echographie T2: anomalie du corps calleux
- IRM: hypoplasie du CC, anomalies de la fosse postérieure, anomalie de gyration
- Caryotype, CGH normaux



17/06/2016

Biométrie conforme

EFP1300416

conclusion

- Garçon, issu de parent consanguin
- Anomalies cérébrales
 - Au niveau des hémisphères:
 - hypoplasie de la substance blanche par raréfaction des fibres cortico-spinales, gliose
 - hypoplasie des fibres calleuses.
 - Au niveau du tronc cérébral:
 - raréfaction des fibres pontiques transversales et longitudinales
 - olives atrophiques
 - absence des pyramides
 - Au niveau des hémisphères cérébelleux:
 - noyaux dentelés hypoplasiques
 - $\frac{1}{2}$ inférieure du vermis hypoplasique, (foliation et lamination normale)

Exome: AMPD2

C.682G>T, p.Glu228X hmz exon 5

PCH9

EFP1300416, M
IMG à 31 sa pour
CCH et PCH
consanguinité

PCH

Hypoplasie du vermis inférieur

CCH

TSEN54: p.A307S *hétérozygotes*



PCH: classification et bases génétiques

Classification	Phenotype	Locus	Inherit.	Gene	Chrom
PCH1	Anterior horn	PCH1A	AR	VRK1	14q32.2
		PCH1B	AR	EXOSC3	9p13.2
PCH2	No anterior horn	PCH2A	AR	TSEN54	17q25.1
	Extrapyramidal syndrome	PCH2B	AR	TSEN2	3p25.2
	Progressive microcephaly	PCH2C	AR	TSEN34	19q13.42
		PCH2D	AR	SEPSECS	4p15.2
		PCH2E	AR	VPS53	17p13.3
PCH4	Conserved vermis, severe, early death	PCH4	AR	TSEN54	17q25.1
PCH5	Vermis defect	PCH5	AR	TSEN54	17q25.1
PCH3	CLAM, optic atrophy	PCH3	AR	?	7q11-q21
	Mitochondrial	PCH6	AR	RARS2	6q15
	Early PCH with vanishing testes	PCH7	AR	?	?
	Spasticité, MCPH, HCC	PCH8	AR	CHMP1A	16q24.3
	Spasticité, MCPH, HCC	PCH9	AR	AMPD2	1p13.3
	Microcephaly, Epilepsy	PCH10	AR	CLP1	11q12.1
	Epileptic encephalopathy	EIEE14	AD	KCNT1	9q34.3
	Epileptic encephalopathy	EIEE5	AD	SPTAN1	9q34.1
	Microcephaly	MICPCH	DLX	CASK	Xp11.4

2/ Microcéphalies

EFP0800249



Microcéphalie -2 DS
Gyration de 20 SA pour 28 SA

Exome: RTTN

c.1526C>T; p.Ser509Phe Exon 12 mat
c.6273del; p.Gln2092Asnfsx3 Exon 46 pat

MSSP

Microcephaly
Short Stature
Polymicrogyria

- OMIM
- Hérédité
- Gène

614833
AR
RTTN

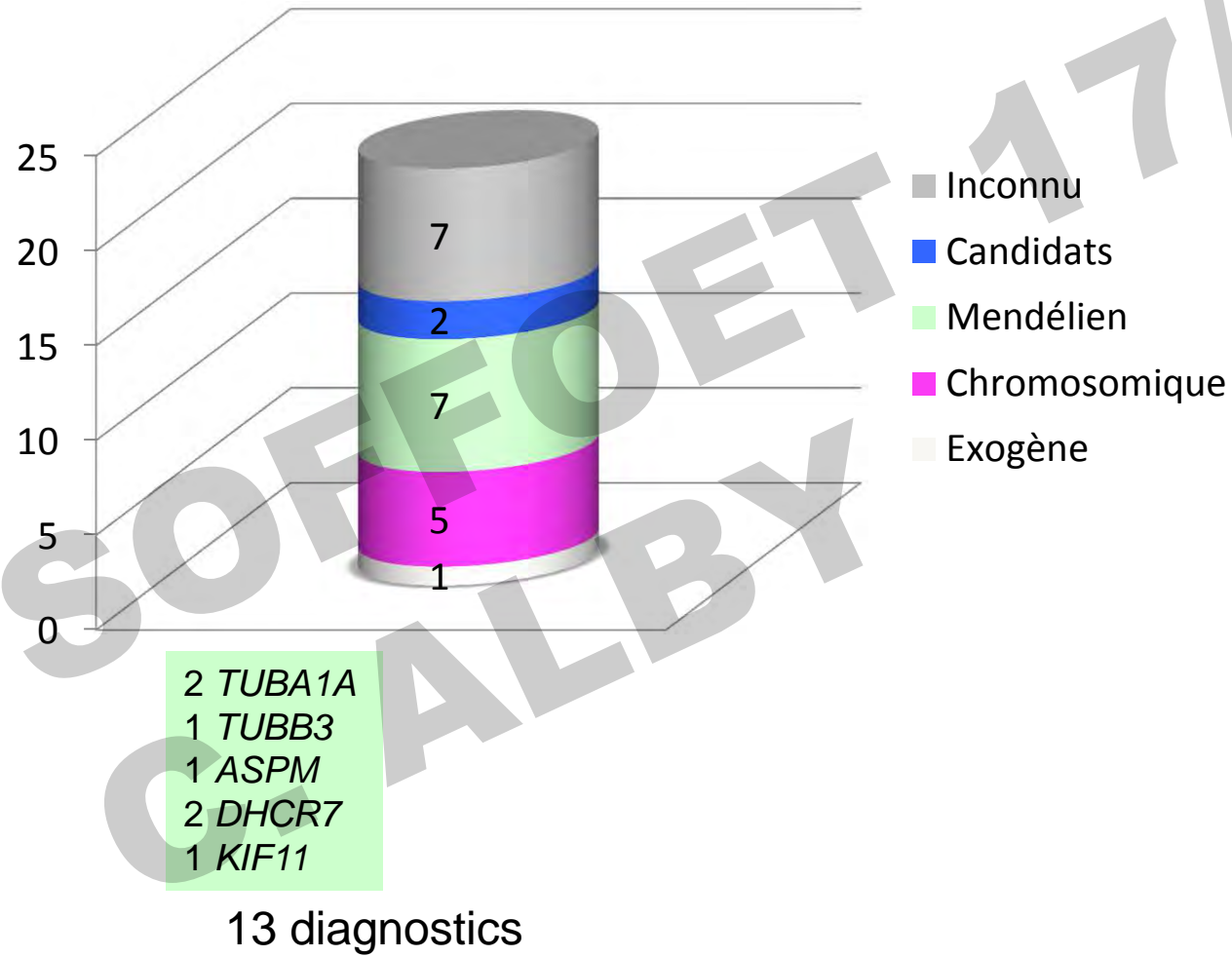
Caractéristiques

- PMGWS Polymicrogyrie
- PMCPD Nanisme primordial
- Microcéphalie à gyration simplifiée

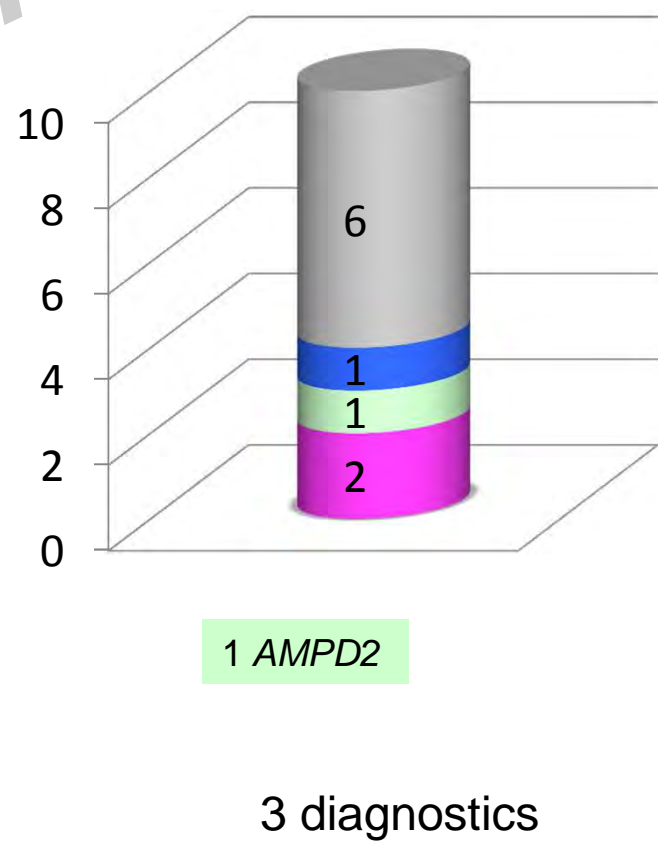
Autres

- Anomalies du corps calleux
- Atrophie cérébelleuse
- Spasticité
- Syndrome pyramidal
- Déficit intellectuel de sévérité variable

22 Microcéphalias



10 Atrophies olivo-ponto-cérébelleuses



SYNDROMES POLYMALFORMATIFS

S. OFFOET 17/06/2016



Bébé QUE...

IMG à 21 SA

pour anomalies cérébrales et cardiaques

Journée SOFFOET du 17/06/2016

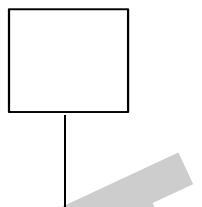
Anne-Claire BRÉHIN
Sophie PATRIER
Tania ATTIÉ-BITACH



Anamnèse

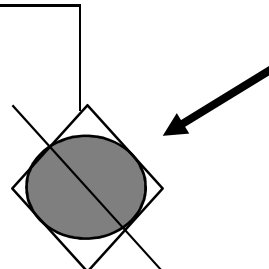
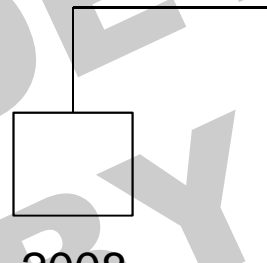
Antécédent familial : néant

VAT... Kev...
Né le 17/08/1982
32 ans



QUE... Mar...
née le 24/03/1980
34 ans
77 kg pour 1m64 (IMC 26,8)

2008
grossesse : ras
naissance : ♂ de 3,2 kg



MT1 1/76
Caryotype standard : 46,XX
Anomalies cérébrales et cardiaques à
l'échographie
=> IMG à 21 SA

A l'échographie....

Système nerveux central:

- hydrocéphalie bilatérale
- agénésie du corps calleux
- agénésie quasi complète du vermis
- probable holoprosencéphalie lobaire



Cœur:

- veine supérieure gauche au sinus coronaire
- doute sur un CAV complet



Autre:

Vessie non vue

Macroscopie externe



17/06/2016

Mensurations compatibles avec un
terme de 21 SA



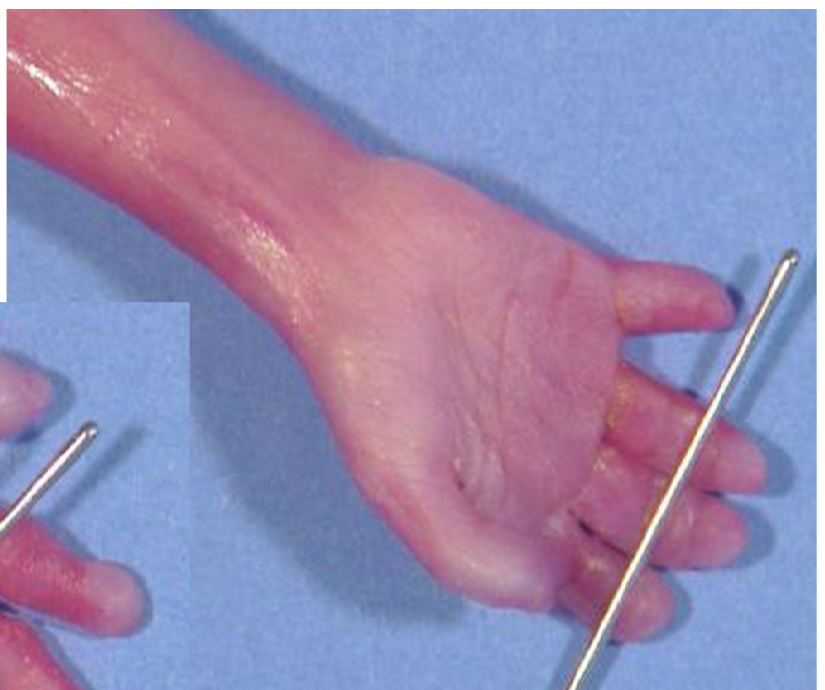
Hypoplasie malaire
Nez court, narines antéversées
Philtrum long
Bouche à coins tombants

Oreilles basses implantées
mal ourlées
en rotation postérieure



SOFFOET 17/06/2016
C. ALBY

Fente palatine postérieure



SOFFOET
C. ALBY



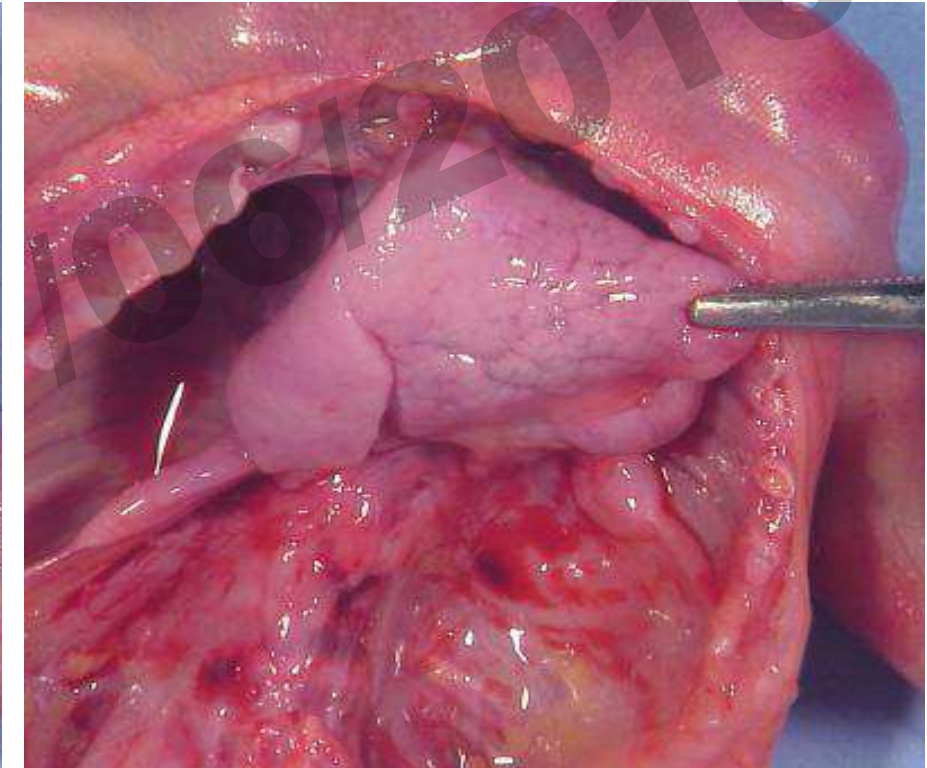
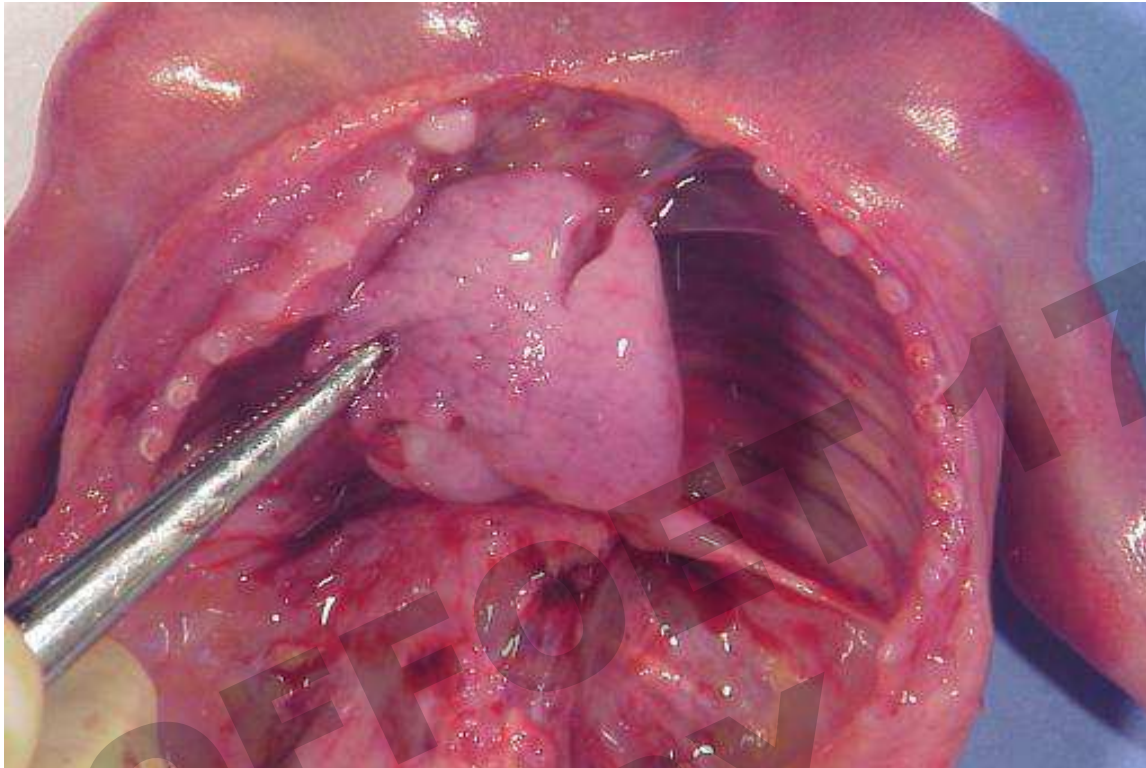


OGE de type féminin
Anus antéposé

17/06/2016

SOFFOET C. ALBY

Macroscopie interne



- Anomalie de la lobulation pulmonaire
- Thymus non visualisé
- Veine cave supérieure gauche
- Artère ombilicale unique

Histologie:
retard de maturation pulmonaire

Le cœur



CAV complet avec CIV de petite taille
large CIA ostium primum
veine cave supérieure gauche au sinus coronaire

SOFFOET 106/2016
C. ALBY

Le cœur



Cerveau



Confirmation Hydrocéphalie

Absence d'argument en faveur d'une holoprosencéphalie.

Données biométriques
conformes au terme de 21 SA



Cerveau et cervelet



- Hypoplasie vermienne
- ACC avec bandelettes de Probst
- Dysplasie rétinienne Œil Droit

Au total

Dysmorphie:

petit nez, narines antéversées, hypoplasie malaire, philtrum long, bouche aux coins tombants, oreilles basses implantées en rotations postérieures et dysplasiques, fente palatine

Anomalies viscérales:

agénésie thymus, artère ombilicale unique, anomalie de la lobulation pulmonaire avec retard de maturation

Malformations cardiaques:

CIA, CIV et CAV, veine cave supérieure gauche

Malformations cérébrales:

hypoplasie vermienne, agénésie du corps calleux, hydrocéphalie et dysplasie rétinienne droite

Diagnostic moléculaire

Caryotype : 46,XX

CGH-array: pas d'anomalie déséquilibrée

Séquençage du callosome V1 (Necker):

Insertion de *novo* d'une paire de base hétérozygote située dans l'exon 18 du gène *ARID1A*
c.4886dup,p.Val1630Cysfs*18

Syndrome de Coffin-Siris par mutation du gène *ARID1A*



Syndrome de Coffin-Siris

Période anténatale :

Signes souvent discrets, croissance dans les limites de la normale

Plus rarement :

- Anomalies cardiaques (35%)
- Anomalies du SNC
- RCIU
- Microcéphalie

Phénotype variable



Kosho et al. (2014),
Santen et al. (2014)

Syndrome de Coffin-Siris

Enfance:

Signes majeurs :

- Atteinte du V^{ème} doigt/orteil
 - Hypoplasie de la phalange distale
 - Aplasie ou hypoplasie unguéale (80%)
 - Clinodactylie (65%)
- Déficience intellectuelle modérée à sévère
- Retard de développement

Phénotype variable

Signes associés:

Hypotonie (75%)

Microcéphalie

Zones d'hypertrichose/hirsutisme (95%)

Cheveux épars (60%)

Retard de croissance pré- et post-natal

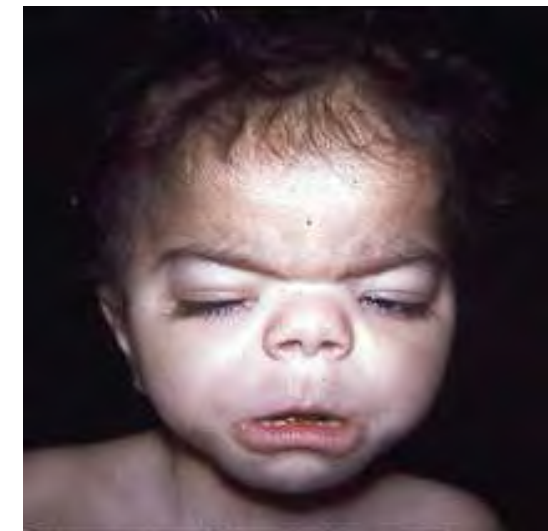
Faciès grossier/traits épais

Difficultés d'alimentation (90%)

infections respiratoires récurrentes (60%)

Convulsions (50%)

Déficit neurosensoriel (auditif / visuel) (40 %)



Kosho et al. (2014),
Santen et al. (2014)

Signes cliniques

Genes	<i>SMARCB1</i>	<i>SMARDCA4</i>	<i>SMARDCE1</i>	<i>ARID1A</i>	Total
Growth and feeding					
Prenatal growth					
Birth weight (mean SD score)	-1.5 (n = 11)	-1.2 (n = 11)	-1.8 (n = 3)	-0.8 (n = 6)	-1.3 (n = 31)
Birth length (mean SD score)	-1.5 (n = 6)	-1.9 (n = 6)	-2.1 (n = 3)	-1.3 (n = 2)	-1.7 (n = 17)
Birth OFC (mean SD score)	-0.8 (n = 6)	-1.1 (n = 6)	-2.1 (n = 2)	2.2 (n = 1)	-0.9 (n = 15)
Postnatal growth at the last observation					
Weight (mean SD score)	-2.4 (n = 9)	-1.9 (n = 12)	-3.3 (n = 2)	-2.9 (n = 5)	-2.3 (n = 28)
Height (mean SD score)	-4.1 (n = 11)	-2.4 (n = 12)	-3.8 (n = 3)	-3.3 (n = 7)	-3.3 (n = 33)
OFC (mean SD score)	-3.1 (n = 10)	-2.9 (n = 11)	-4.6 (n = 1)	-1.2 (n = 6)	-2.0 (n = 28)
Sucking/feeding difficulty					
Tube feeding	100% (11/11)	92% (11/12)	100% (3/3)	100% (7/7)	99% (32/33)
Weaned off tube feeding	86% (6/7)	100% (5/5)	100% (2/2)	100% (6/6)	95% (19/20)
Weaned off tube feeding	17% (1/6)	67% (2/3)	100% (2/2)	20% (1/5)	38% (6/16)
Craniofacial features					
Spine scalp hair	91% (10/11)	32% (5/12)	67% (2/3)	69% (3/5)	65% (20/31)
Hypertrichosis	73% (8/11)	100% (12/12)	100% (2/2)	100% (7/7)	91% (29/32)
Thick eyebrows	100% (11/11)	75% (9/12)	67% (2/3)	75% (6/8)	82% (28/34)
Long eyelashes	100% (11/11)	38% (10/12)	50% (1/2)	100% (6/6)	90% (25/31)
Ptosis	55% (6/11)	75% (9/12)	33% (1/3)	43% (3/7)	58% (19/33)
Nasal bridge					
Wide	55% (6/11)	0% (0/11)	0% (0/3)	80% (4/5)	60% (18/30)
Flat	18% (2/11)	15% (5/11)	33% (1/3)	0% (0/5)	15% (8/30)
Normal	18% (2/11)	36% (4/11)	33% (1/3)	20% (1/5)	27% (8/30)
Narrow	9% (1/11)	18% (2/11)	33% (1/3)	0% (0/5)	13% (4/30)
Philtrum					
Long	80% (4/10)	27% (3/11)	50% (1/2)	14% (1/7)	30% (9/30)
Short	0% (0/10)	45% (5/11)	50% (1/2)	29% (2/7)	27% (8/30)
Normal	20% (2/10)	18% (2/11)	0% (0/2)	14% (1/7)	17% (5/30)
Bread/long	10% (1/10)	9% (1/11)	0% (0/2)	43% (3/7)	17% (5/30)
Bread	20% (2/10)	0% (0/11)	0% (0/2)	0% (0/7)	7% (2/30)
Bread/dimple	10% (1/10)	0% (0/11)	0% (0/2)	0% (0/7)	3% (1/30)
Upper lip vermillion					
Thin	80% (8/10)	27% (3/11)	67% (2/3)	50% (3/6)	53% (16/30)
Normal	10% (1/10)	36% (4/11)	33% (1/3)	50% (3/6)	30% (9/30)
Everted	0% (0/10)	16% (4/11)	0% (0/3)	0% (0/6)	13% (4/30)
Thick	10% (1/10)	0% (0/11)	0% (0/3)	0% (0/6)	3% (1/30)
Lower lip vermillion					
Thick	73% (8/11)	83% (10/12)	100% (3/3)	86% (6/7)	82% (27/33)
Normal	27% (3/11)	17% (2/12)	0% (0/3)	14% (1/7)	18% (6/33)
Palatal abnormalities					
Cleft palate	20% (2/10)	33% (4/12)*	50% (1/2)	33% (2/6)	30% (9/30)
Skeletal-limb features					
Hypoplastic 5th fingers or toes	73% (8/11)	100% (12/12)	100% (3/3)	86% (5/7)	88% (29/33)
Hypoplastic 5th fingernails or toenails	100% (11/11)	100% (12/12)	100% (3/3)	88% (7/9)	97% (33/34)
Hypoplastic other fingernails and toenails	70% (7/10)	50% (5/10)	67% (2/3)	75% (5/9)	65% (20/31)
Prominent interphalangeal joints	44% (4/9)	27% (3/11)	50% (1/2)	20% (1/5)	33% (9/27)
Prominent distal phalanges	75% (6/8)	50% (5/10)	33% (1/3)	20% (1/5)	50% (13/26)
Scoliosis	78% (7/9)	10% (1/10)	50% (1/2)	29% (2/7)	39% (11/28)

SD, standard deviation.

*Submucous cleft palate was observed in another patient.

Kosho et al. (2014)

Complications

Genes	<i>SMARCB1</i>	<i>SMARCA4</i>	<i>SMARCE1</i>	<i>ARID1A</i>	Total
Internal complications					
Cardiovascular	45% (5/11)	42% (5/12)	67% (2/3)	38% (3/8)	44% (15/34)
Gastrointestinal	70% (7/10)	67% (8/12)	50% (1/2)	57% (4/7)	65% (20/31)
Genitourinary	45% (5/11)	25% (3/12)	0% (0/1)	29% (2/7)	32% (10/31)
Hernia	88% (7/8)	55% (6/11)	0% (0/2)	25% (1/4)	56% (14/25)
Hearing and vision					
Hearing impairment	75% (6/8)	33% (4/12)	50% (1/2)	33% (2/6)	46% (13/28)
Visual impairment	56% (5/9)	45% (5/11)	100% (1/1)	75% (3/4)	56% (14/25)
Immunology					
Frequent infection	89% (8/9)	67% (8/12)	67% (2/3)	60% (3/5)	72% (21/29)
Neurology					
Hypotonia	73% (8/11)	73% (8/11)	33% (1/3)	88% (7/8)	73% (24/33)
Seizures	80% (8/10)	17% (2/12)	67% (2/3)	29% (2/7)	44% (14/32)
Structural CNS abnormalities	100% (9/9)	86% (6/7)	100% (2/2)	88% (7/8)	92% (24/26)
Development and intelligence					
Developmental delay and ID					
Severe	73% (8/11)	55% (6/11)	33% (1/3)	57% (4/7)	59% (19/32)
Moderate to severe	9% (1/11)	0% (0/11)	0% (0/3)	14% (1/7)	6% (2/32)
Moderate	9% (1/11)	36% (4/11)	67% (2/3)	0% (0/7)	22% (7/32)
Mild	9% (1/11)	9% (1/11)	0% (0/3)	29% (2/7)	13% (4/32)
Speech impairment					
No words	80% (8/10)	36% (4/11)	67% (2/3)	83% (5/6)	63% (19/30)
Several words	10% (1/10)	18% (2/11)	0% (0/3)	0% (0/6)	10% (3/30)
Sentences	10% (1/10)	45% (5/11)	33% (1/3)	17% (1/6)	27% (8/30)
Behavior					
Behavioral abnormalities	50% (4/8)	88% (7/8)	50% (1/2)	60% (3/5)	65% (15/23)

CNS, central nervous system; ID, intellectual disability.

Kosho et al. (2014)

SMARCB1



SMARCA4



SMARCE1



ARID1A



Kosho et al. (2014)



Kosho et al. (2014)



Kosho et al. (2014)

SOX11

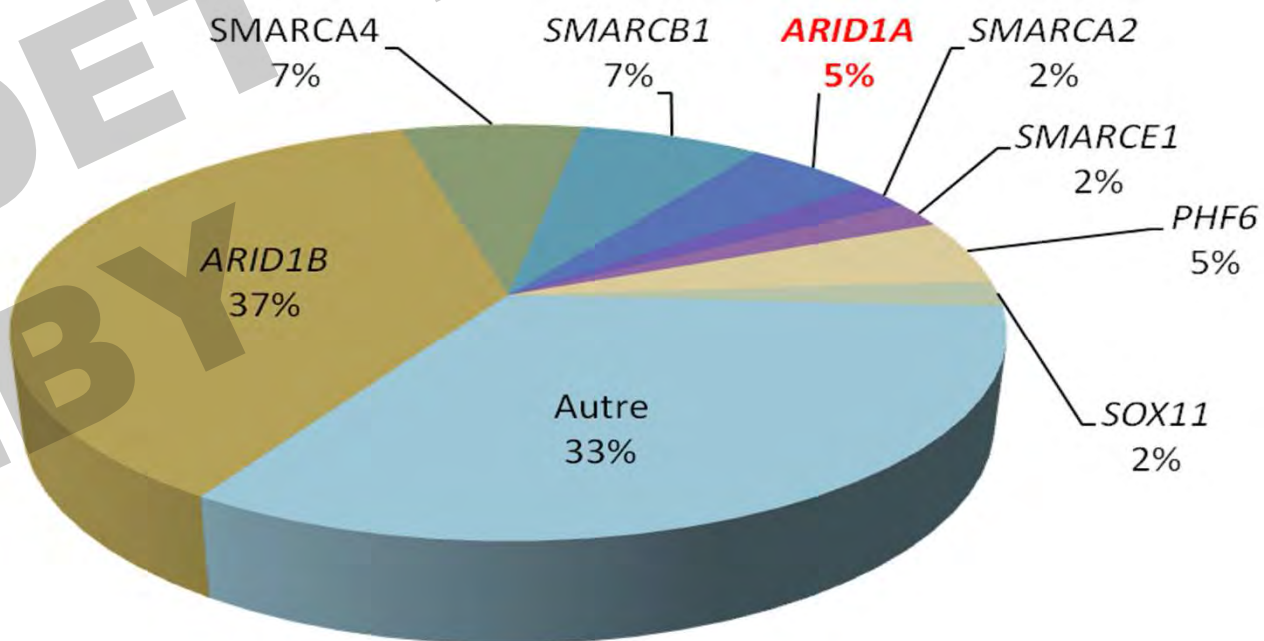


Syndrome de Coffin-Siris

8 gènes identifiés à l'heure actuelle

- *ARID1B* = *BAF250b*
- *SMARCA4* = *BAF190a*
- *SMARCB1* = *BAF47*
- *ARID1A* = *BAF250a*
- *SMARCA2* = *BAF190b*
- *SMARCE1* = *BAF57*
- *PHF6*
- *SOX11*

~ 61 % des syndromes cliniques expliqués par des mutations du complexe BAF



Inspiré de Miyake et al. (2014) ; Tsurusaki et al. (2014)

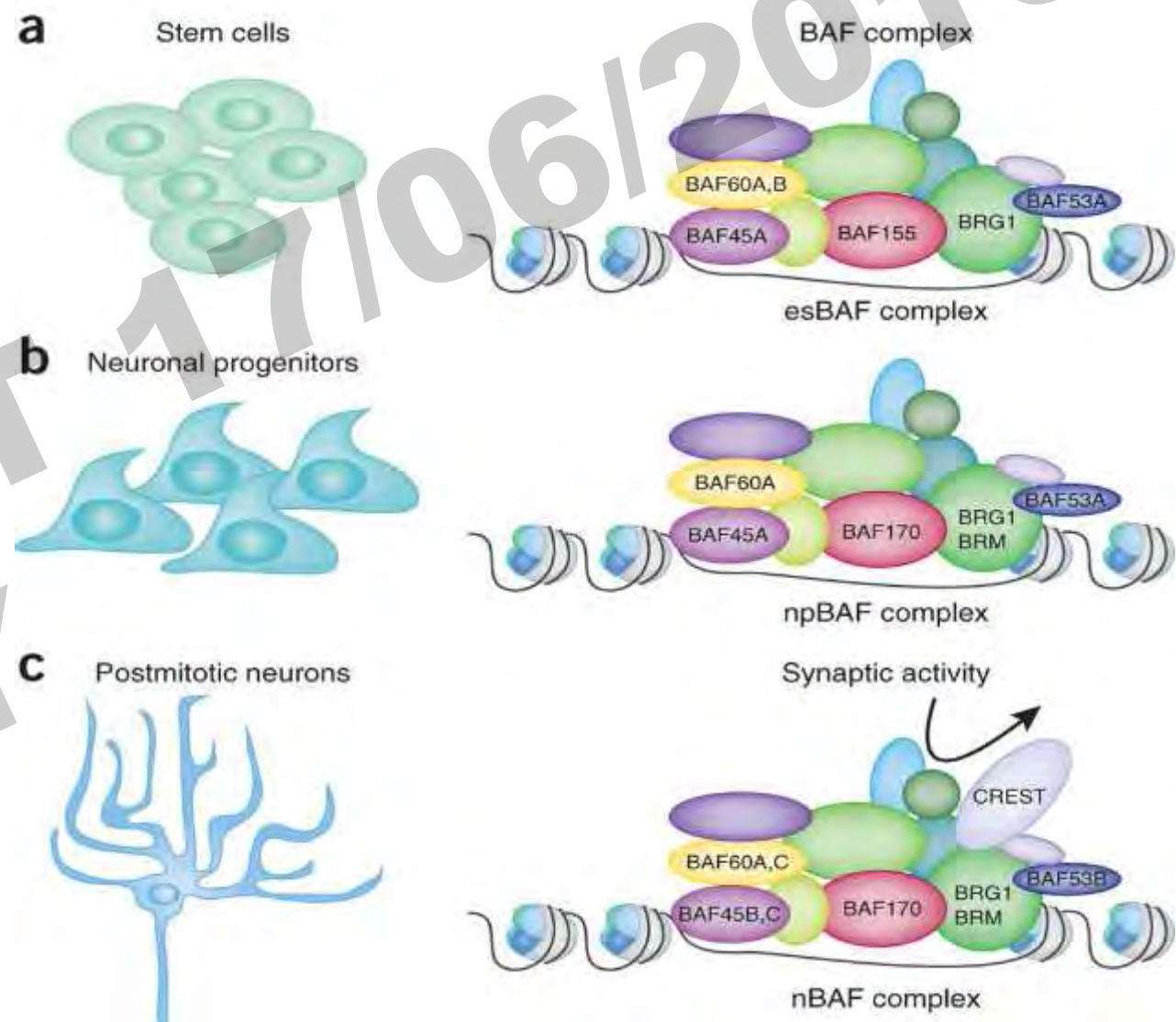
Complexe BAF « SWI-SNF-like »

Rôle dans le remodelage de la chromatine

Plusieurs types de complexes

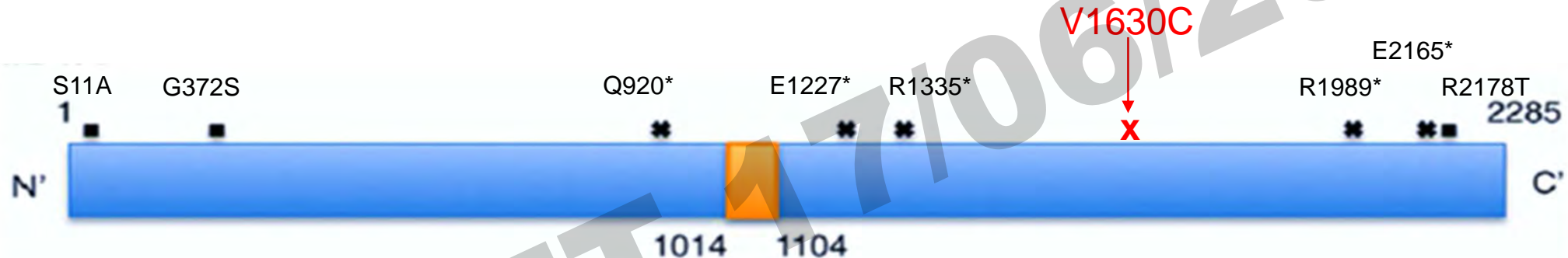
Fonctions critiques dépendantes des facteurs cellulaires présents

Activité ATPase pouvant déstabiliser les interactions histone-ADN
=> Peut altérer la position des nucléosomes sur l'ADN



Riccio (2010)

ARID1A

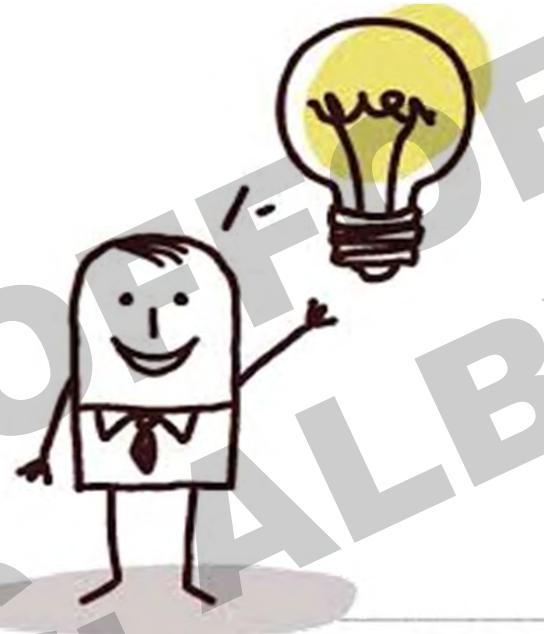


8 patients décrits dans la littérature avec mutation dans *ARID1A*
3/8 mutations non sens
5/8 mutations frameshift

- mutation non sens
- ✗ mutation frameshift

CONCLUSION

Anomalies cérébrales
Anomalies cardiaques
Dysmorphie



Syndrome de Coffin-Siris !

La clef?
Le callosome!

Merci de votre attention

ARID1A (NM_006015.4) : c.2733-2A>C

MaxEnt: -100.0%, NNSPlice: -100.0%, HSF: -100.0%

Coffin-Siris, AD

EFP0500034, M
IMG à 23 sa
ACC

Hernie diaphragmatique bilatérale

CAV

Incurvation fémorale

Dysmorphie faciale

Fente palatine

Clinodactyly du 5

13 côtes

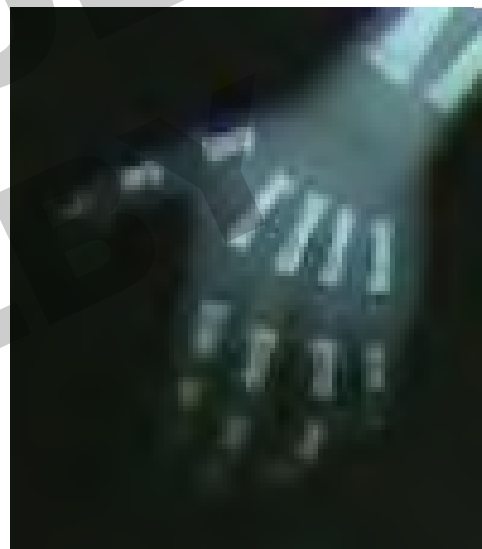
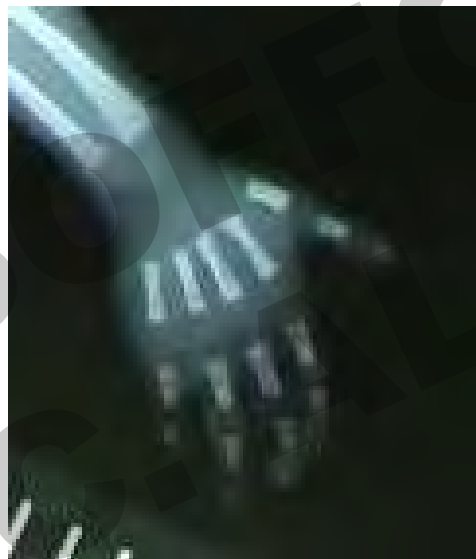
Hamartome hypothalamique



Soumaya ZRELLI



EFP0500034



Coffin Siris syndrome

#135900

COFFIN-SIRIS SYNDROME; CSS

Alternative titles; symbols

FIFTH DIGIT SYNDROME

▪ OMIM 135900

▪ Inheritance AD

▪ Genes

**SWI/SNF
complex**

ARID1A (1p36.1-p35)

ARID1B (6q25.3)

SMARCA2 (9p24.3)

SMARCA4 (19p13.3)

SMARCB1 (22q11.23)

SMARCE1 (17q21.2)

PHF6

SOX11

Caractéristiques

- Retard mental
- Hypoplasie ou aplasie 5 ongle/phalange distale
- Facies grossier
- Hypertrichose

Autres

- Petite taille, microcéphalie
- CCA / Dandy Walker / pachygyrie
- Epilepsie
- Surdité
- Ophthalmique (cataracte, ptosis, strabisme)
- Cardiaque : VSD/ASD/T4F/PDA
- Gastro intestinal (HCD)
- Génito-urinaire et rénal
- Retard de maturation osseuse
- Vertebral / scoliose
- Hyperlaxité

Chevauchement ou même syndrome?

SMARCA2 (9p24.3): Nicolaides-Baraitser syndrome

Prévalence et variabilité du Coffin-Siris

*ARID1B (NM_017519.2),
de novo*

Complete CCA
Hypertrichosis

c.4784_4785del,
p.Phe1595Serfs*27



Complete CCA
Hypertrichose

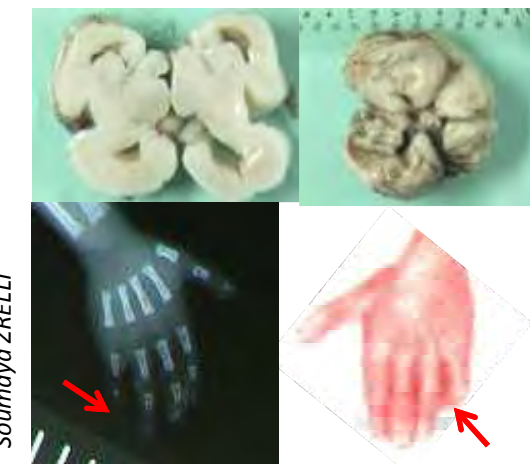
Délétion des exons 5 à 19
de 380 kb



*ARID1A (NM_006015.4),
de novo*

CCA
Diaphragmatic hernia
Atrio ventricular canal
Palate cleft

c.2733-2A>C



>70 patients
Viable, 35%: CCM
Frequent deletion

Santen et al. AJMG, 2014

8 patients
letal
Somatic mosaicism

Tsurusaki et al., 2012, 2014
Santen et al., 2013
Wieczorek et al., 2013

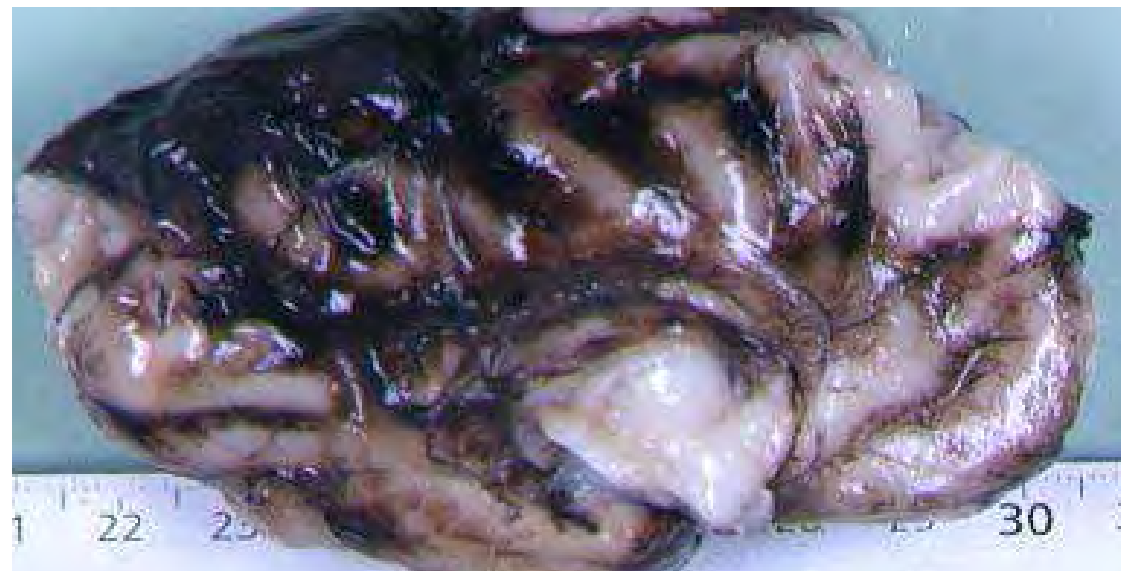
Exome : KAT6B

c.3788-3789del,p.Lys1263ArgfsX7 de novo

(Genitopatellar, AD)

EFP1200211, M
IMG à 29 sa pour
ACC, malposition des membres

ACC/PB
Gyration simplifiée, no
neuronal migration anomalies
Scrotum en châle
ARX: pas de mutation



J Tantau; F Razavi

Genitopatellar syndrome

- OMIM
- Inheritance
- Gene:

606170
AD
KAT6B (10q22)

Characteristic

- **Microcéphalie**
- **Retard psychomoteur sévère**
- **Dysmorphie**
- **Contracture des extrémités inférieures**
- **Absence ou hypoplasie rotules**
- **Anomalies urogénitales**

Other

- Brachydactylie
- Reins polykystiques
- Cardiopathies congénitales
- Anomalies anales
- Dysplasie ectodermique
- Agénésie du corpus callosum
- Hétérotopies périventriculaires

Absence de rotule ?

SoFFoet 17/06/16

Fœtus G.A

Dr. F. Arbez-Gindre
M. Lefebvre

SOFFOET 17/06/2016
C. ALBY

Fœtus 1

- Couple non consanguin bien portant
- G2P0
- 2 IMG pour SPM en 2013 et 2015 (Besançon)
- 1^{ère} écho 20 SA :
 - Hydrocéphalie
 - AOU
 - Rein denses
- Caryotype normal : 46, XX
- Décision d'IMG

Fœtus 1 : Foetopathologie (Dr Arbez-Gindre)



- Fœtus féminin 20 SA
- AOU
- Hydrocéphalie majeure sans sténose de l'AS
- Reins normaux
- Hypoplasie viscérale diffuse

- Echo T1 et T2 normales
- Echo T3 :
 - RCIU
 - Hypoplasie du corps calleux
 - FLP bilatérale
- Caryotype normal : 46, XY
- Décision d'IMG

Fœtus 2 : Foetopathologie (Dr Arbez-Gindre)



- Fœtus masculin 35 SA
- RCIU
- FLP bilatérale
- Hypoplasie du corps calleux

- Caryotypes normaux
- aCGH
 - Fœtus 1 : del 16p11.2 *dn*
 - Fœtus 2 : normale

Hypothèse?

Exome (Dijon)

- Variation homozygote tronquante B3GLTC : NM_194318.3:c.660+1G>A
- Absente Exac/EVS
- ClinVar : Pathogène
- Syndrome de Peters-Plus :
 - Anomalies chambre antérieure
 - Membres courts avec extrémités larges
 - DI
 - Dysmorphie avec FLP

SOFAPOET 17/06/2016

C. ALBY

Exome (Dijon)

- Variation homozygote tronquante B3GLTC : NM_194318.3:c.660+1G>A
- Absente Exac/EVS
- ClinVar : Pathogène
- Syndrome de Peters-Plus :
 - Anomalies chambre antérieure
 - Membres courts avec extrémités larges
 - DI
 - Dysmorphie avec FLP



Conclusion

- Phénotype atypique
- Diagnostic foetopath difficile sans anomalie oculaire
- Importance du phénotypage reverse

Peters plus syndrome

- OMIM
- Hérédité
- Gène

261540
AR
B3GALT1

Caractéristiques

- **Glaucome congénital de Peters, le plus souvent bilatéral**
- **Nanisme**
- **Déficit intellectuel**
- **Anomalies auriculaires**
- **Fente palatine**

Autres

- Cataracte
- Dysmorphie faciale
- ACC, hydrocéphalie
- OGE: Hypospadias
- Cardiopathies: CIA, CIV, sténose pulmonaire
- Duplications rénales/urétérales
- Hydramnios

**APPAREMENT
ISOLÉS...SURDITÉ**

SOFFOET 17/06/2016

Exome, trio:

ZBTB20, c.1906T>C, p.Cys636Arg de novo

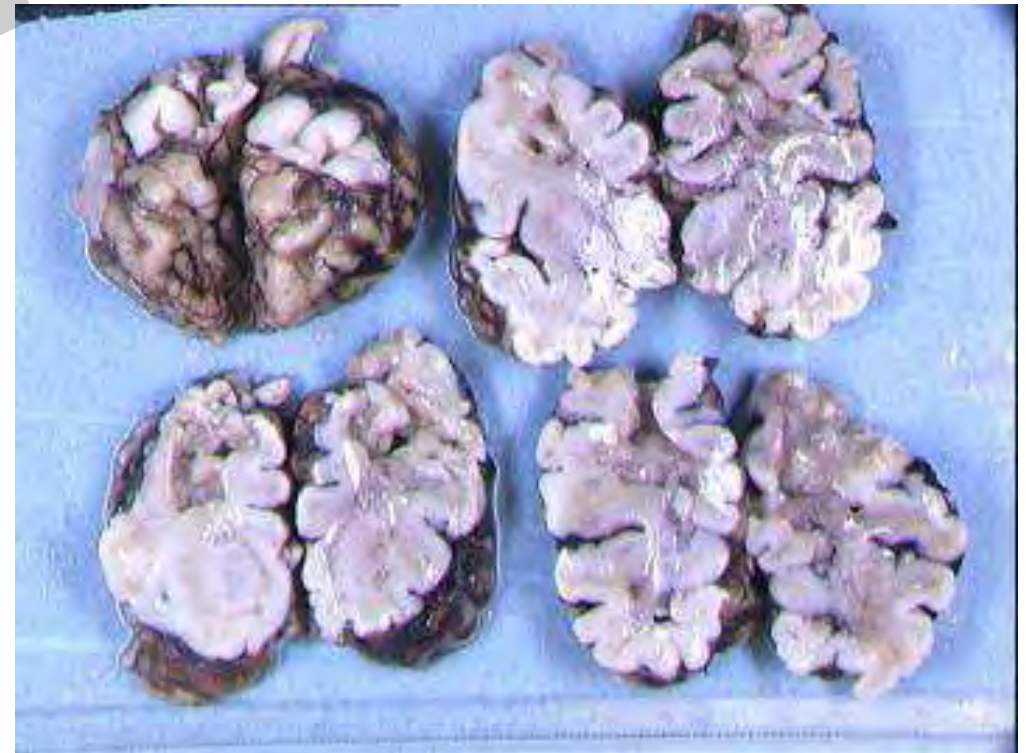
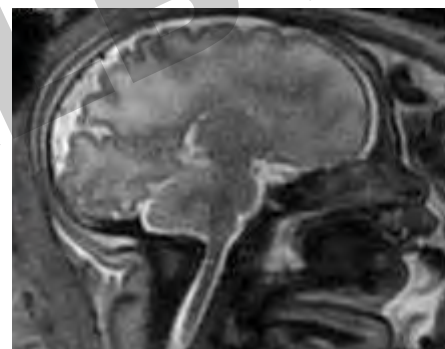
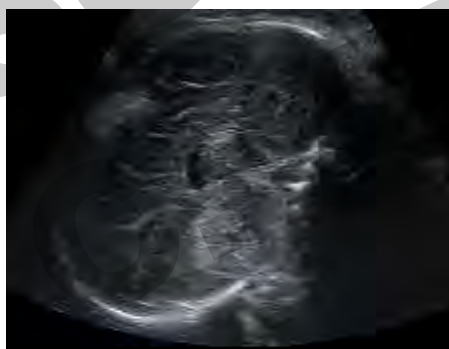
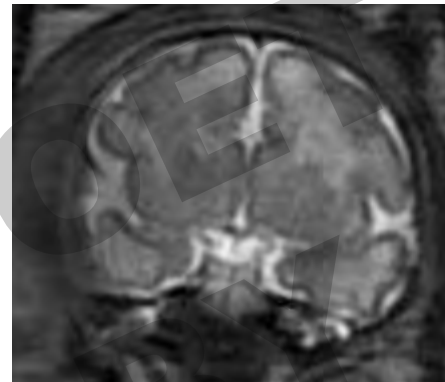
Primrose, AD

EFP1200451, F
IMG à 37 sa pour
CCA
Oligoamnios

Dysmorphie
Bosses Frontales, oreilles



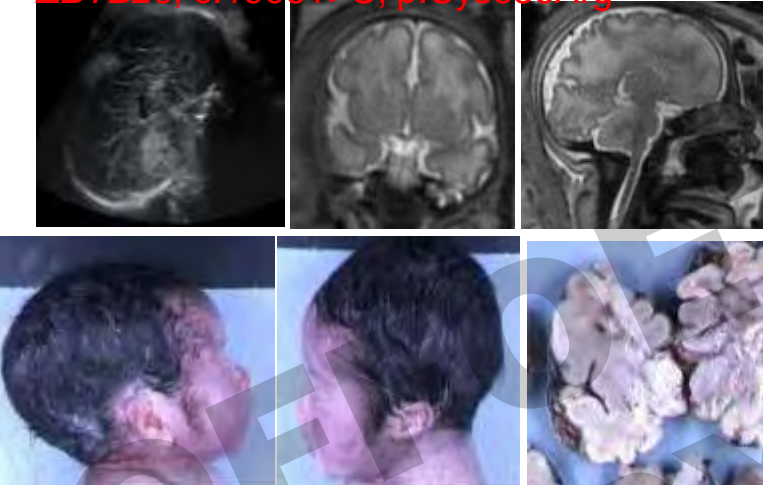
B. Bessières



Apparently isolated CCM & variability of Primrose (ZBTB20)

Complete CCA,
oligoamnios
Megalencephaly

ZBTB20, c.1906T>C, p.Cys636Arg



Transcriptional repressor
Expressed in hippocampal neurones
Mouse model: partial CCA (post)



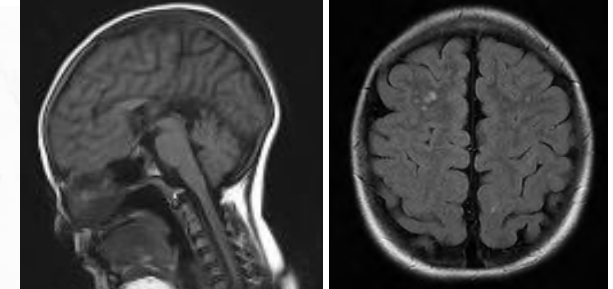
CCD III
Macrocephaly
Deafness, ID

c.1837C>T, p. Arg613Cys

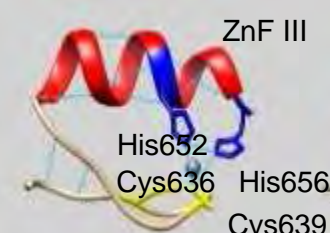


Partial CCA
Macrocephaly
Deafness, severe DI

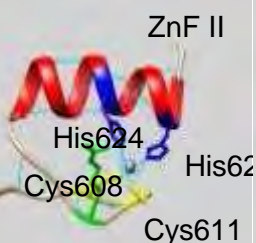
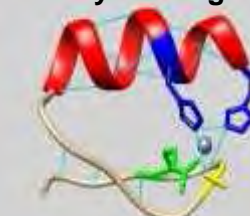
c.1832G>A; p.Cys611Tyr



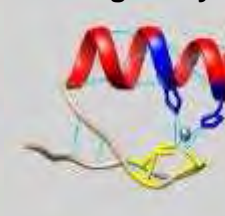
C2H2



Cys636Arg



Arg613Cys



C2H2 mut

Primrose syndrome

▪ OMIM 259050
▪ Inheritance AD
▪ Gene: *ZBTB20* (3q13)

Characteristic

- **Recognizable facial features**
- **Macrocephaly**
- **Intellectual deficiency**
- **Enlarged and calcified external ears**
- **Sparse body hair**
- **Distal muscle wasting**

Other

- Short stature
- Obesity
- Hearing loss
- Posterior polar cataracts
- Neurodegeneration
- Hypotonia
- Hypoplastic corpus callosum
- Intracerebral calcifications
- Autism, Behavior
- Abnormal glucose tolerance test
- Insulin-resistant diabetes (adult)

Mutations in *ZBTB20* cause Primrose syndrome
Cordeddu et al., Nature Genetics, 2014

Deletion / mutation ?

Chudley McCullough

- OMIM
- Hérédité
- Gène
- Locus

604213
AR
GPSM2
1p13.3

Caractéristiques

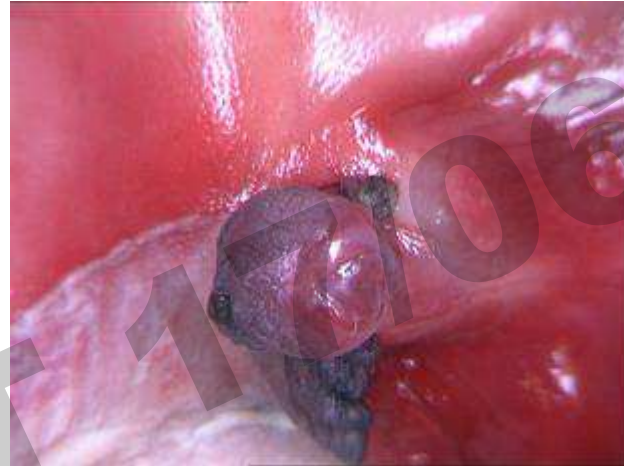
- **Surdité neurosensorielle**
- **Anomalies cérébrales**
 - Hypoplasie du corps calleux, ACCp
 - Kystes arachnoïdiens
 - Mega-grande citerne
 - Dysplasie cérébelleuse focale
 - Hétérotopies nodulaires
 - Polymicrogyrie
- Pas de déficit intellectuel ! (ou modéré)

Autres

- Hydrocéphalie

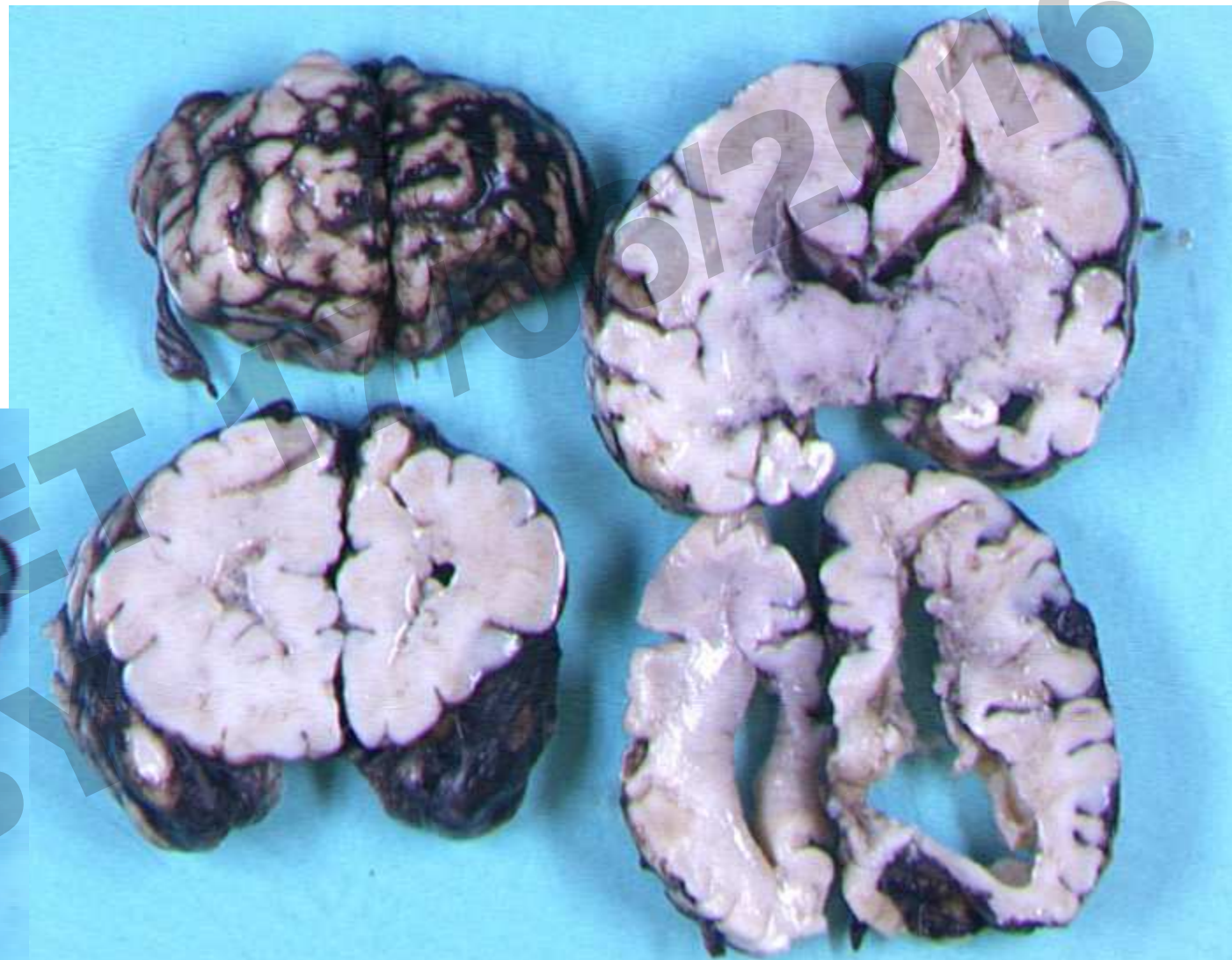
IMG 33,5SA pour
Ventriculomégalie
bilatérale asymétrique
ACC
Verge coudée
46,XY

Foetopathologie:
➤ Macrocranie
➤ Dysmorphie
➤ Hypertrichose
➤ Hypospadias



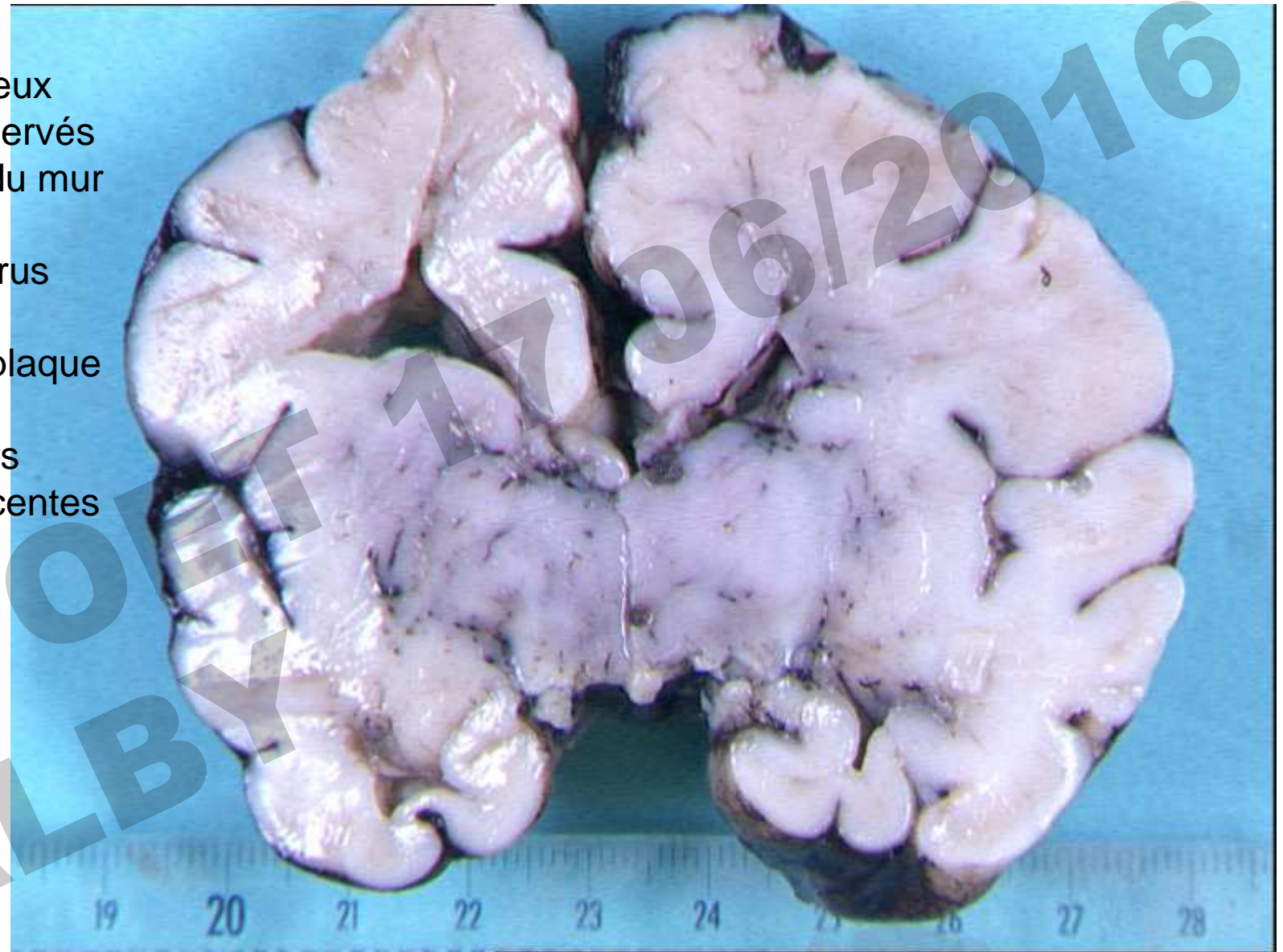
*EFP1000202,
Maryse Bonnière*

Absence de CC
Dilatation biventriculaire
asymétrique (D>G)
Hypoplasie vermis inf

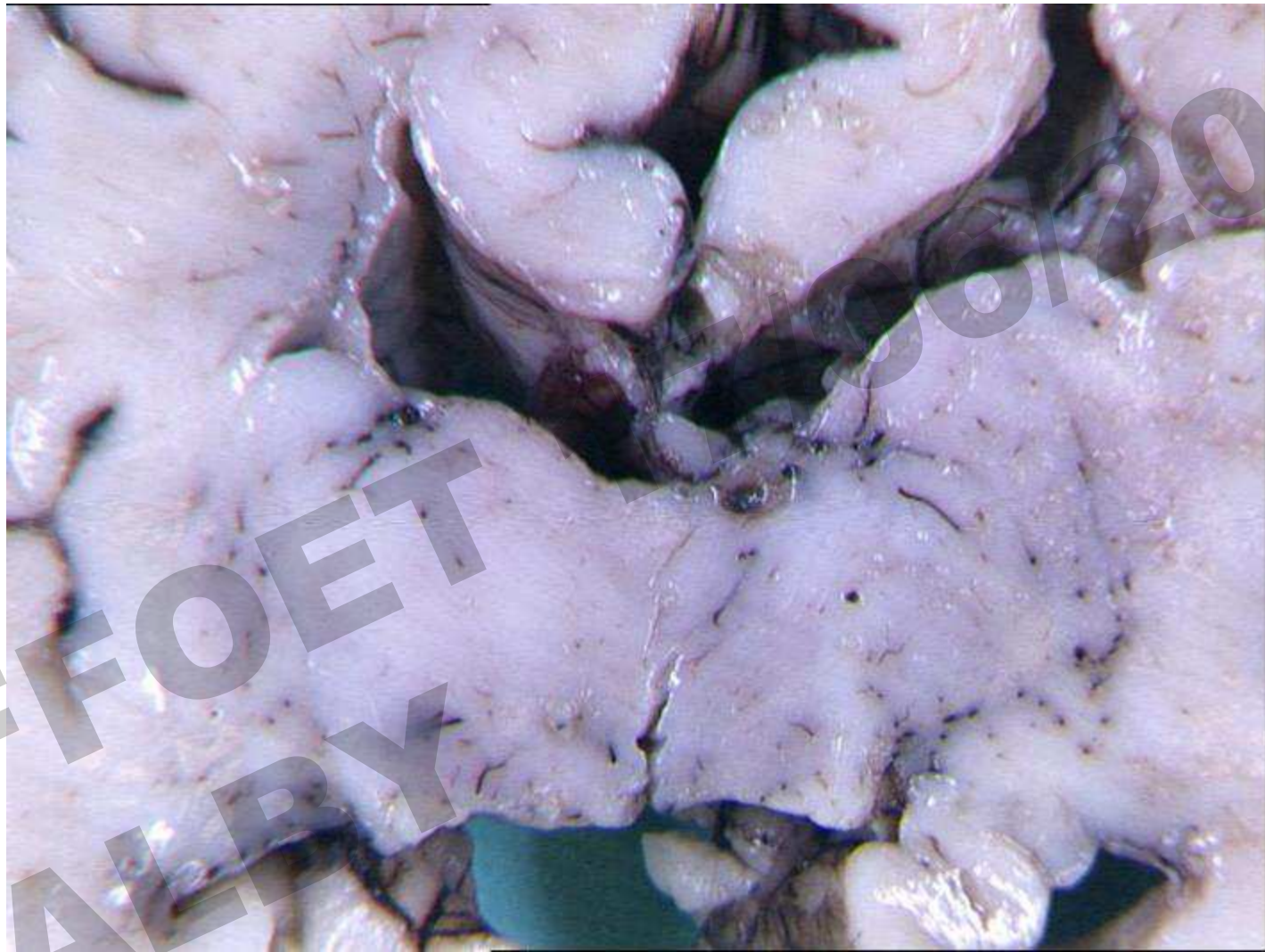


EFP1000202, Maryse Bonnière, F. Razavi

Absence de corps calleux
Piliers du septum conservés
Gyration désordonné du mur interne
Aspect irrégulier du gyrus cingulaire avec anomalies de la plaque corticale de type polymicrogyrie et foyers d'hétérotopies sous jacentes



EFP1000202, Maryse Bonnière, F. Razavi

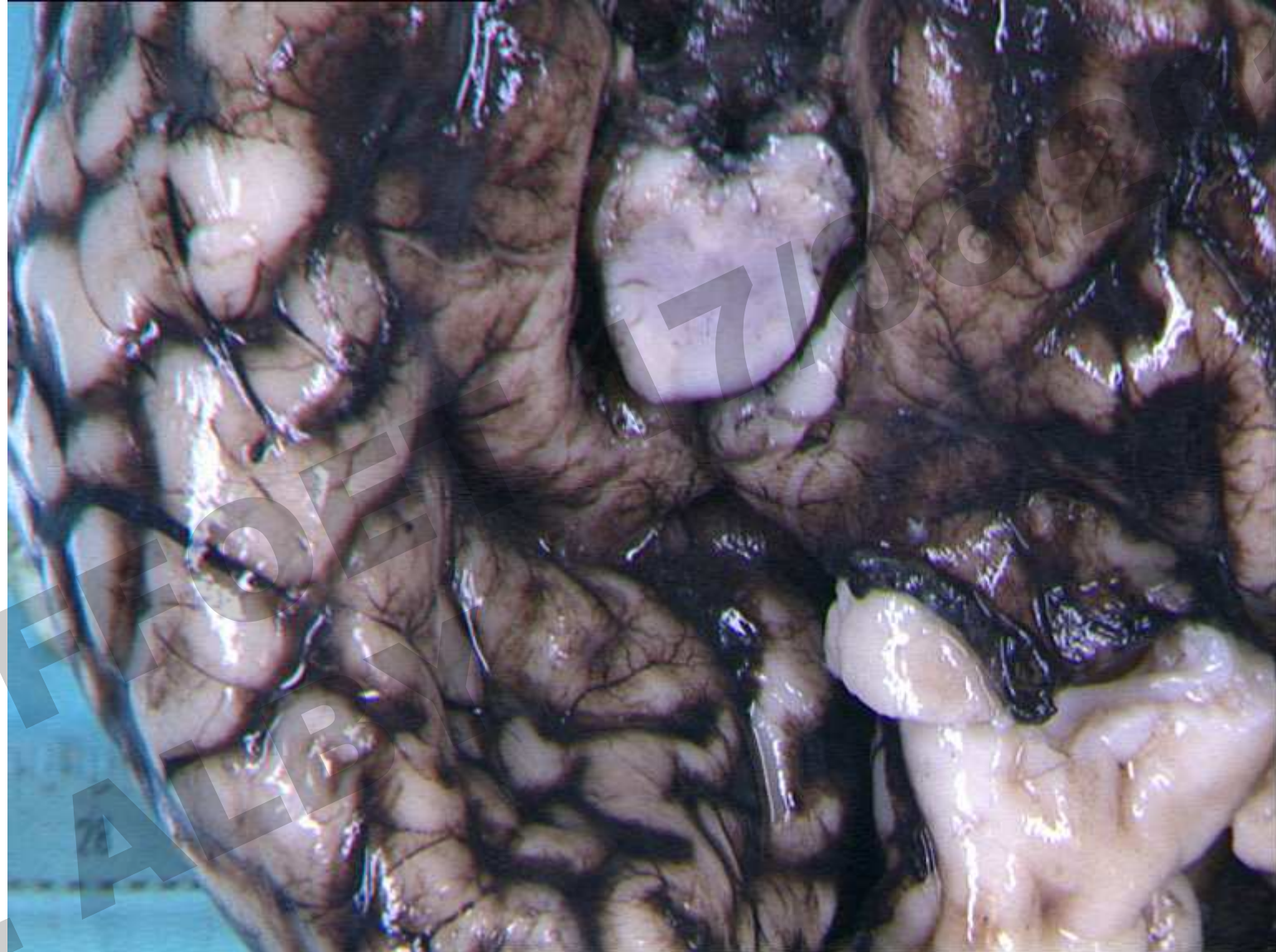


SOFFOET
C. ALBY

EFP1000202, Maryse Bonnière, F. Razavi

10/06/2016

Atrésie V3



EFP1000202, Maryse Bonnière, F. Razavi

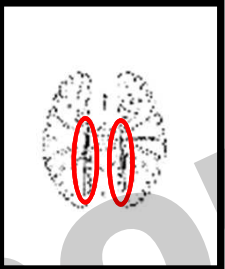
- Séquençage callosome V1
- Mutation homozygote de *GPSM2*
c.453_454dup, p.Tyr152CysfsX17

-> Chudley McCullough

Foetus: résultats

NGS

3 ACC isolées imagerie



A red arrow points from the text "3 ACC isolées imagerie" down to the table.

<i>AMPD2</i>	PCH9	c.682G>T,p.Glu228* hmz	récessive
<i>KIAA1279</i>	Goldberg-Schprinzen	deletion exons 2 and 3 hmz	récessive
<i>KIF11</i>	MCLMR	c.157C>T,p.Arg53* htz	de novo
<i>TUBB3</i>	Tubulinopathie	c.817C>T,p.Leu273Phe htz	de novo
<i>TUBA1A</i>	Tubulinopathie	c.5G>A,p.Arg2His htz	de novo
<i>ARID1A</i>	Coffin Siris	c.2733-2A>C htz	de novo
<i>ARID1B</i>	Coffin Siris	c.4784_4785del,p.Phe1595Serfs*27 htz	de novo
<i>ARID1B</i>	Coffin Siris	380 kb deletion from exon 5 to 19 htz	de novo
<i>ZBTB20</i>	Primrose	c.1906T>C,p.Cys636Arg htz	de novo
<i>PDHA1</i>	Leigh	c.934_940del,p.Ser312Valfs*12 htz	de novo
<i>PDHA1</i>	Leigh	c.910C>T,p.Arg304*	de novo
<i>KAT6B</i>	Génito-patellaire	c.3788_3789del,p.Lys1263Argfs*7	de novo
<i>GPSM2</i>	Chudley Mac Cullough	c.453_454dup,p.Tyr152Cysfs*17 hmz	en cours

8 défauts de
décussation

Conclusion et perspectives

Originalités de la génétique Mendélienne

Hétérogénéité génétique

- Prolifération : Microcéphalie
- Migration : Tubulinopathies

Nouveaux mécanismes génétiques

- ARID1A mosaïque / germinale

Extension du phénotype

Phénocopies

- Déficits en PDH *L1CAM-like*

Phénotypes incomplets

- Primrose
- Coffin Siris
- Génitopatellaire
- Chudley Mac Cullough
- Goldberg-Schprintzen

surdité
~~hirsutisme~~
~~patella~~
surdité
~~Hirschsprung~~

Nouveaux gènes

TALPID3





**Genomique &
Bioinformatique**
Patrick Nistchke
Christine Bole-Feysot



Delphine Heron
Christelle Despienne
Marie-Laure Moutard
Boris Keren
Bénédicte Durand



INSERM U-781
Caroline Alby
Sophie Thomas
Lucile Boutaud
Linda Mounthon
Nadia Bahi-Buisson
Nadia El Khartoufi
Amale Ichkou
Kevin Piquand
Stanislas Lyonnet
Michel Vekemans

Cytogénétique, Necker
Valérie Malan
Serge Romana



Foetopathologie, Necker
Bettina Bessières
Maryse Bonnière
Charlotte Mechler
Jelena Martinovic
Ferechté Razavi

Cliniciens
M. Rio
J. Amiel
S. Lyonnet
C. Thauvin